

胃粘膜病变和胃癌的早诊早治

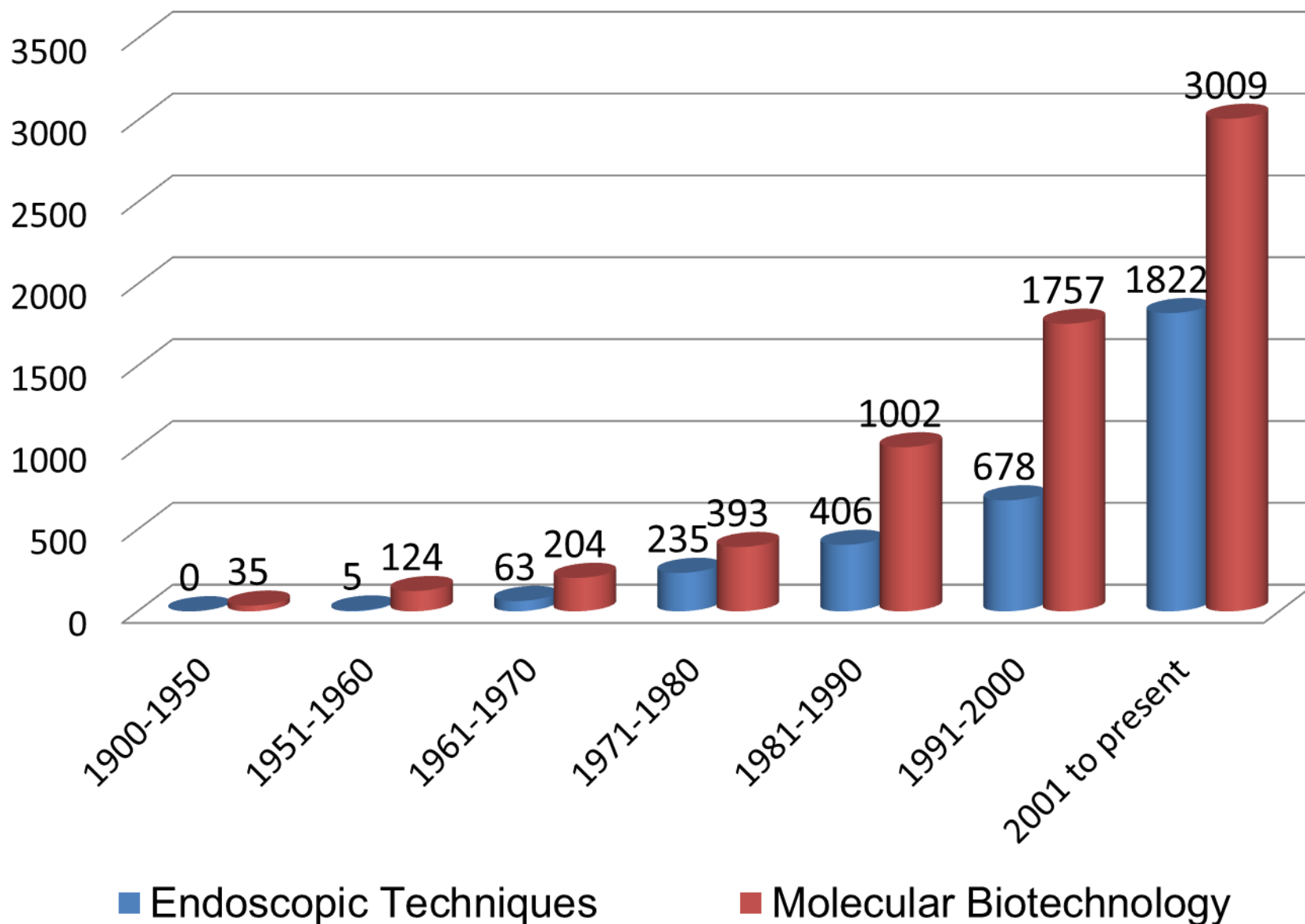
厦门大学附属中山医院消化内科

厦门大学消化疾病研究所

厦门市消化疾病中心

任建林

Early gastric cancer diagnosis and treatment



PROGRESSION TO GASTRIC ADENOCARCINOMA

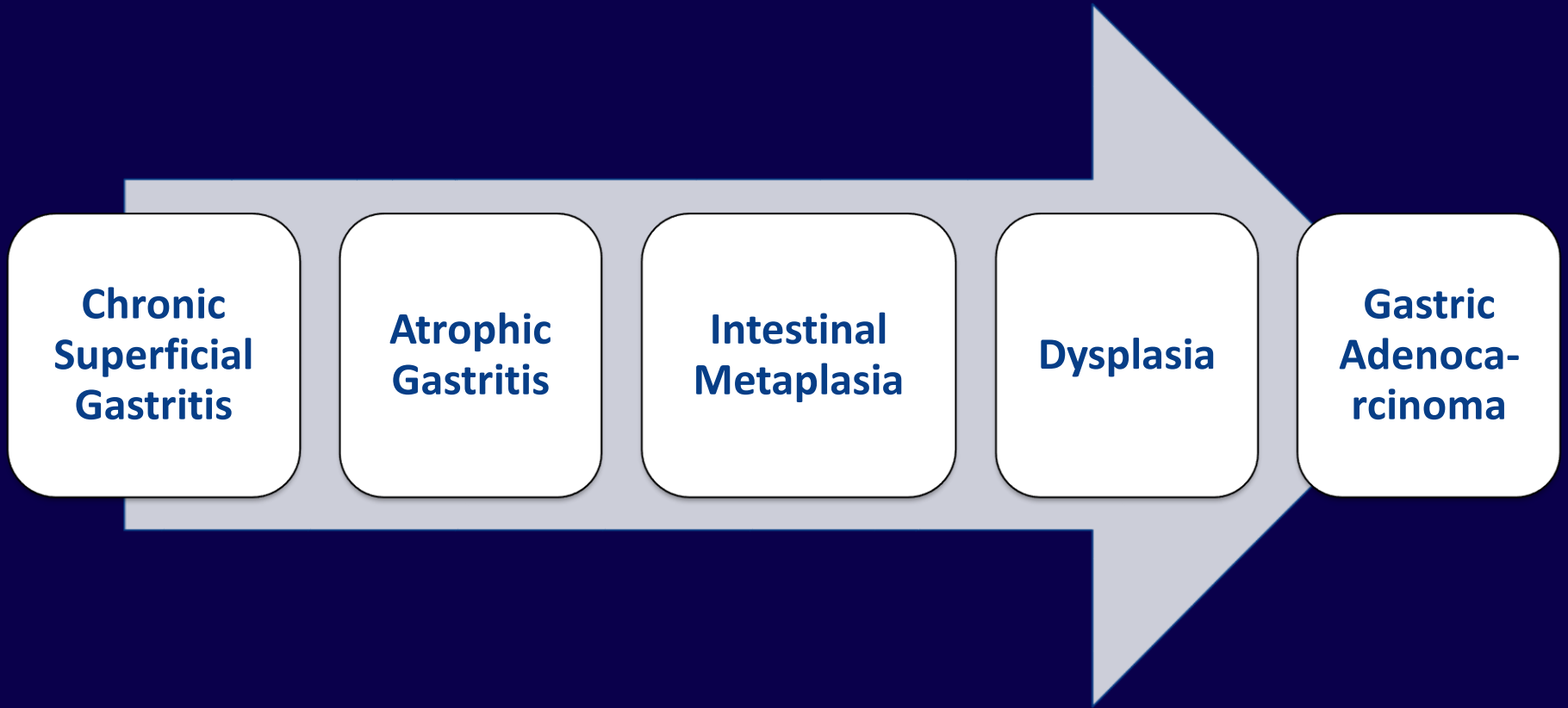
**Chronic
Superficial
Gastritis**

**Atrophic
Gastritis**

**Intestinal
Metaplasia**

Dysplasia

**Gastric
Adenoca-
rcinoma**



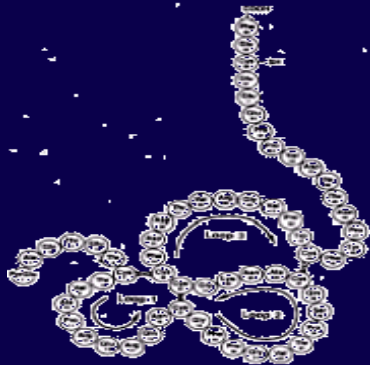
- ◆ ECHS1 acts as a novel HBsAg-binding protein enhancing apoptosis through the mitochondrial pathway in HepG2 cells. *Cancer Lett.* 2013 Mar 1;330(1):67-73.
- ◆ Distribution of bone-marrow-derived endothelial and immune cells in a murine colitis-associated colorectal cancer model. *PLoS One.* 2013 Sep 10;8(9):e73666.
- ◆ Silencing of Pokemon enhances caspase-dependent apoptosis via fas- and mitochondria-mediated pathways in hepatocellular carcinoma cells. *PLoS One.* 2013 Jul 17;8(7):e68981.
- ◆ Circulatory antigen processing by mucosal dendritic cells controls CD8(+) T cell activation. *Immunity.* 2013 Jan 24;38(1):153-65.
- ◆ Pyruvate kinase M2 plays a dual role on regulation of the EGF/EGFR signaling via E-cadherin-dependent manner in gastric cancer cells. *PLoS One.* 2013 Jun 28;8(6):e67542.

- ◆ miRNA423-5p regulates cell proliferation and invasion by targeting trefoil factor 1 in gastric cancer cells. *Cancer Lett.* 2014 May 28;347(1):98-104.
- ◆ Exome sequencing revealed novel germline mutations in Chinese Peutz-Jeghers syndrome patients. *Dig Dis Sci.* 2014 Jan;59(1):64-71.
- ◆ Piezo1 Is as a Novel Trefoil Factor Family 1 Binding Protein that Promotes Gastric Cancer Cell Mobility In Vitro. *Dig Dis Sci.* 2014 May 6. [Epub ahead of print]
- ◆ Fibrinogen Alpha Chain Acts as a HBsAg Binding Protein and their Interaction Promotes HepG2 Cell Apoptosis. *Current Proteomics.* 2014 Jan [Epub ahead of print]
- ◆ Serum TFF3 may be a pharmacodynamic marker of responses to chemotherapy in gastrointestinal cancers. *BMC Clinical Pathology.* 2014 Jul [Epub ahead of print]

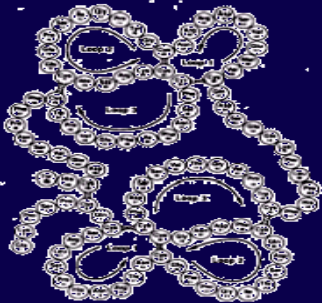
Defensive Factor

TFFs

TFF1



TFF2



TFF3



Interaction with mucin glycoprotein

Increased blood flow

Migration of cells

Restoration of barrier

Cell signaling pathways



Searching receptor
of TFFs ?

Piezo1 : 一种新的TFF1结合蛋白促进胃癌细胞迁移

Piezo1 is as a novel TFF 1 binding protein that promotes GC cell mobility in vitro

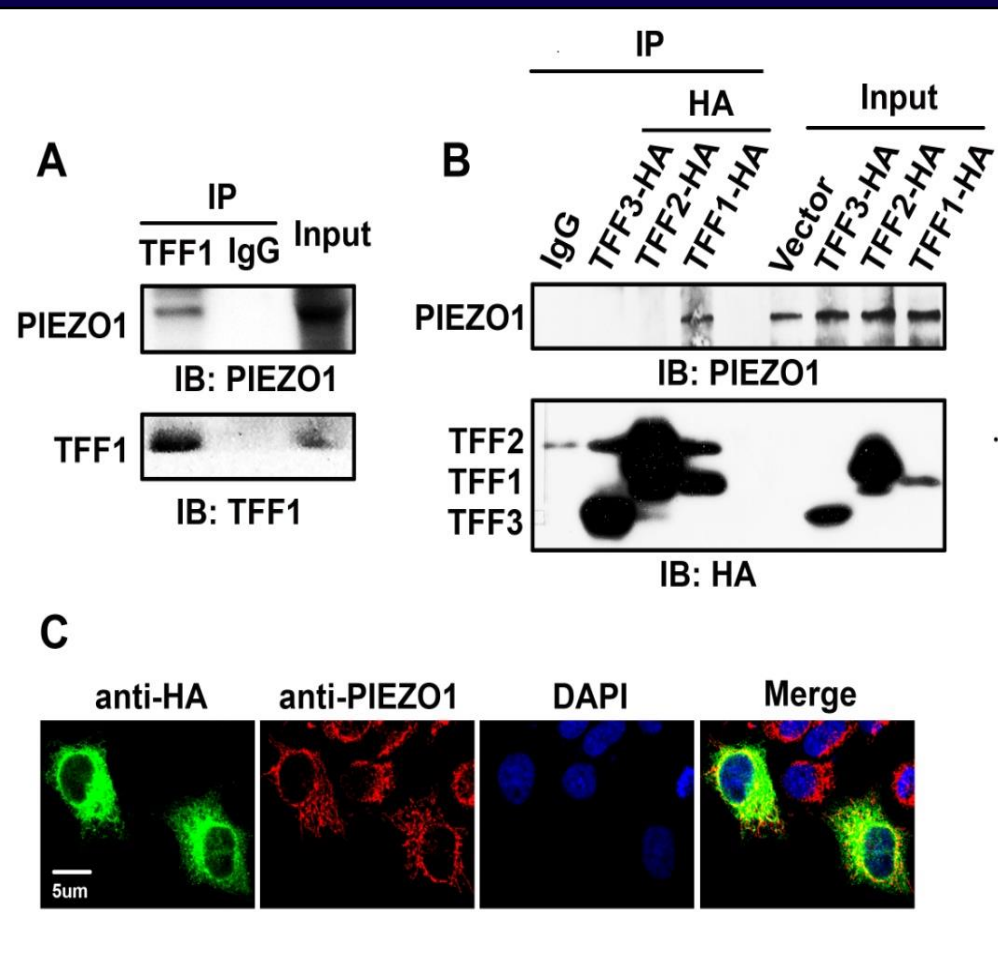


Fig. 1 TFF1与Piezo1结合验证

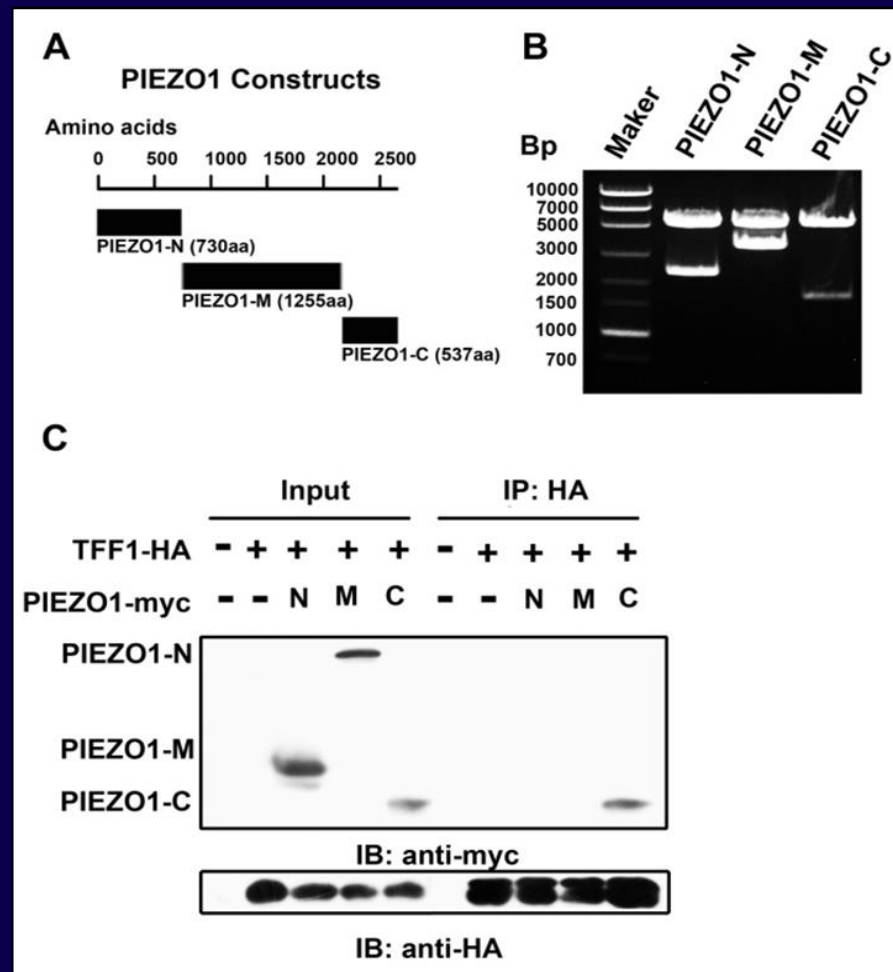


Fig. 2 TFF1与Piezo1 C端结合

Piezo1 : 一种新的TFF1结合蛋白促进胃癌细胞迁移

Piezo1 is as a novel TFF 1 binding protein that promotes GC cell mobility in vitro

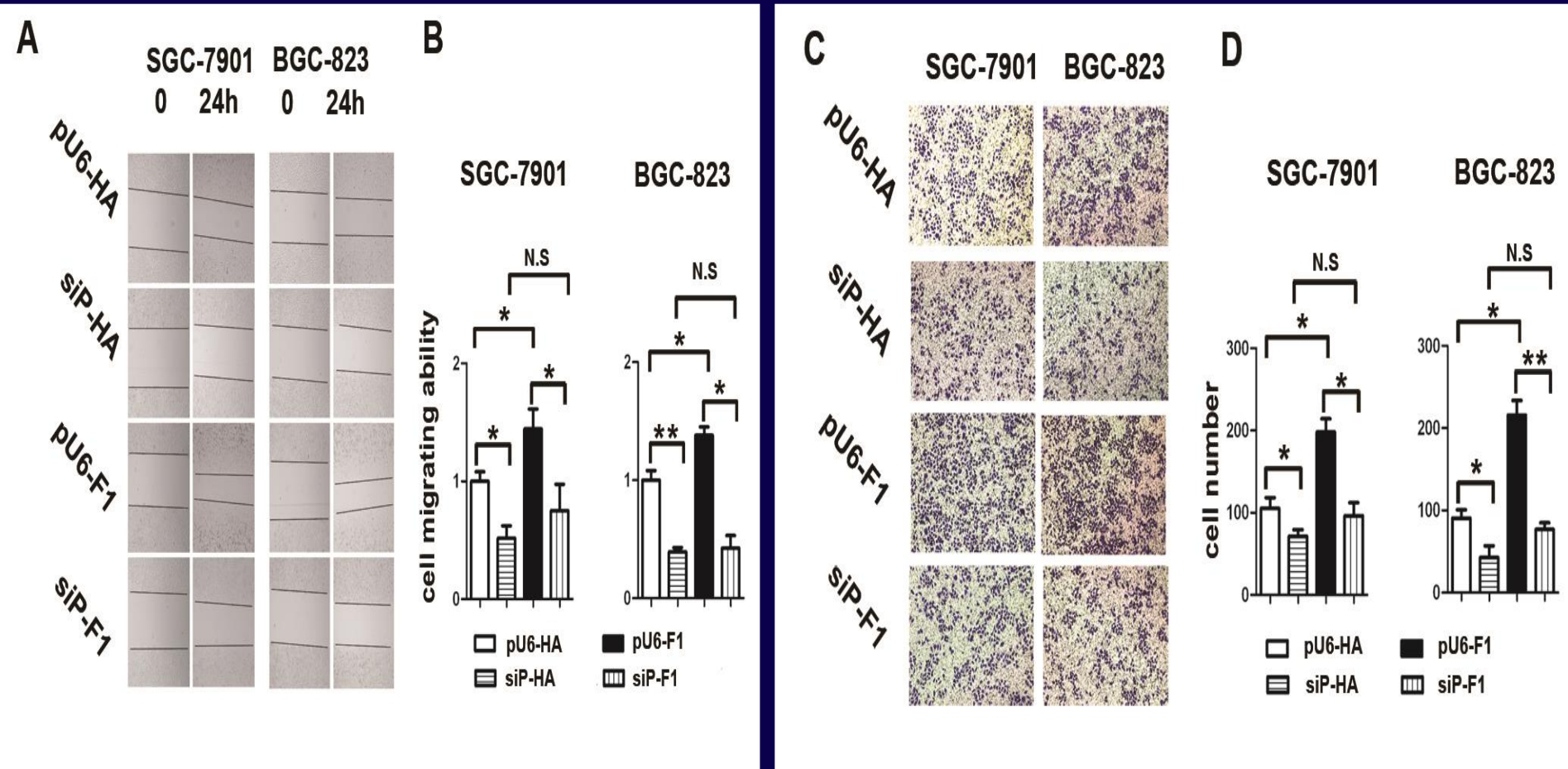


Fig. 3 胃癌细胞中干扰Piezo1 表达降低细胞迁移能力

miRNA423-5p regulates cell proliferation and invasion by targeting TFF1 in GC cells

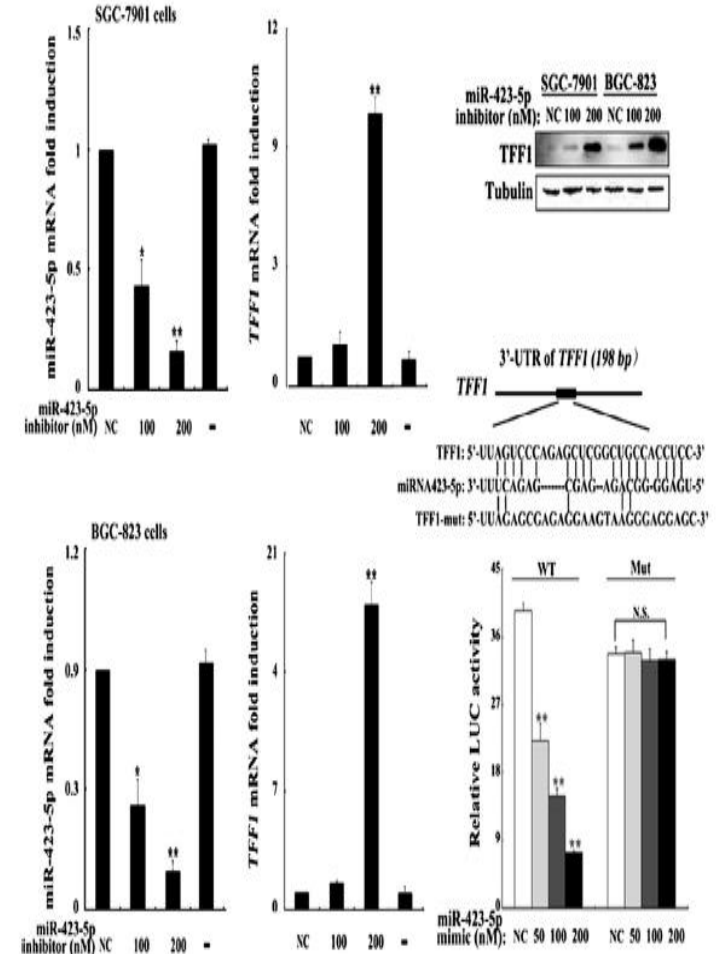
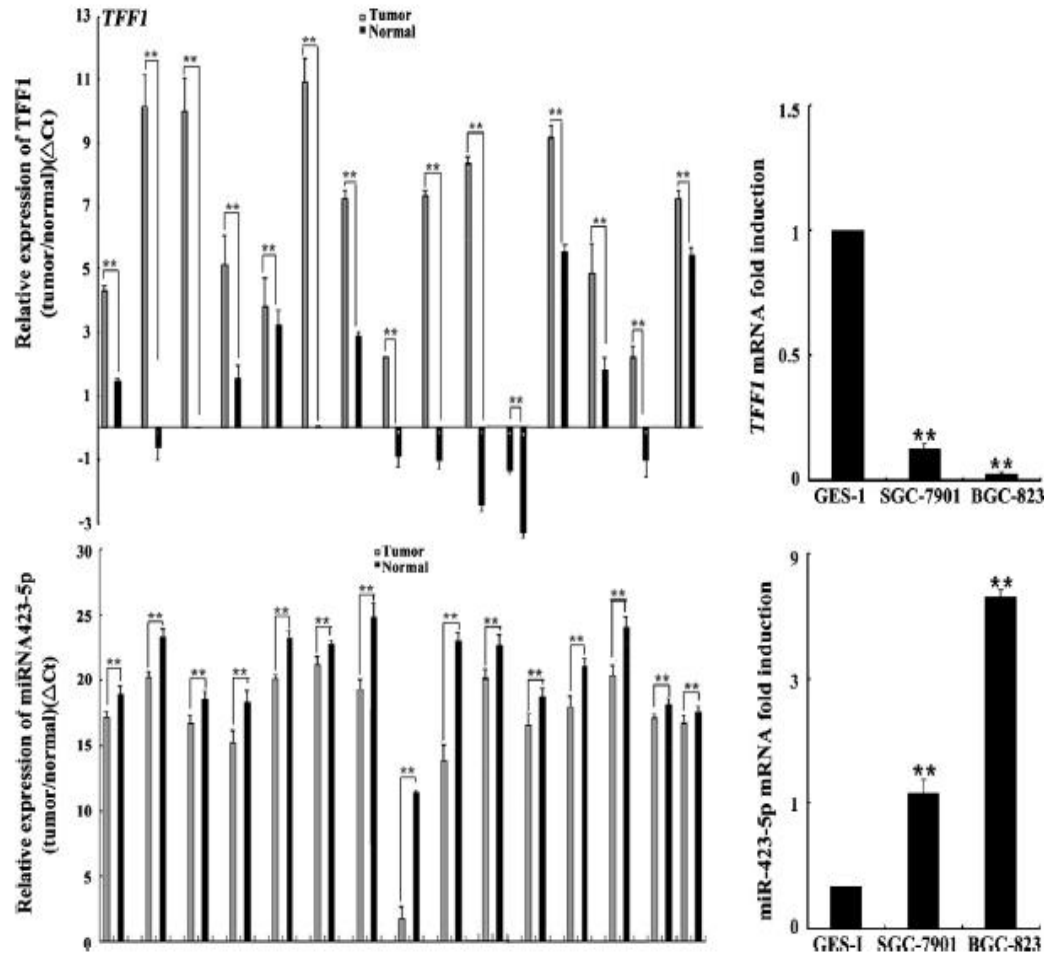
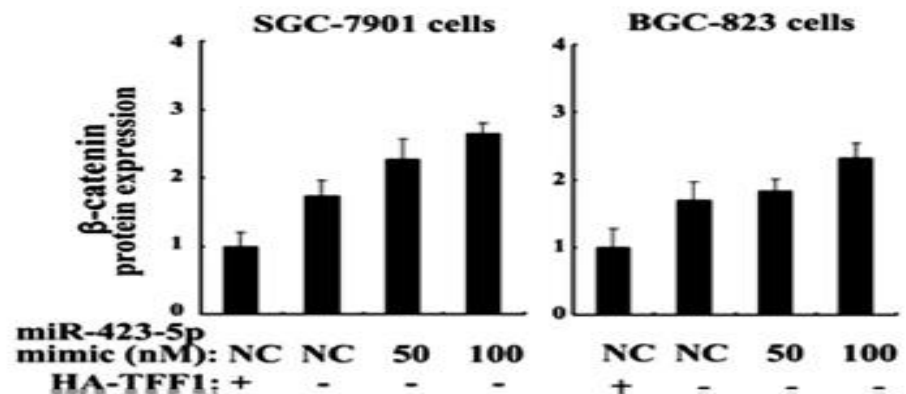
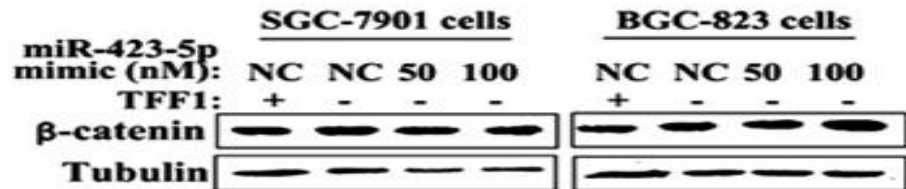
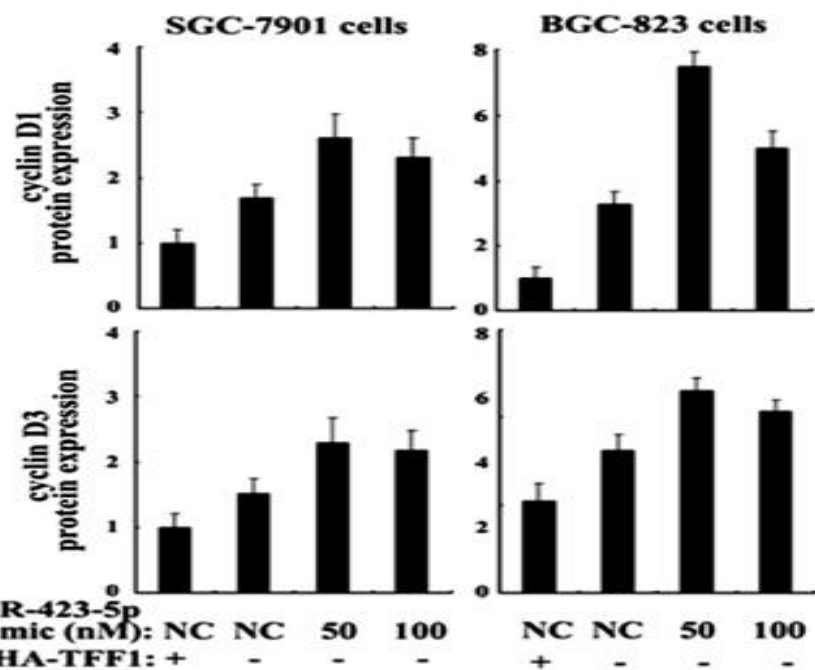
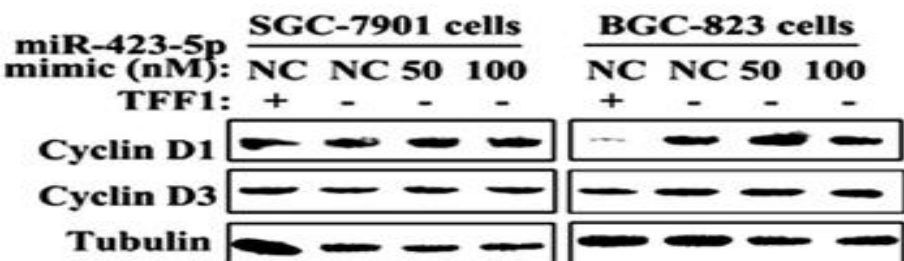


Fig. 1 TFF1与miRNA-423-5p在胃癌、癌旁正常组织及胃癌细胞株中的表达呈负相关

Fig. 2 miRNA-423-5p通过结合于3'URT 下调TFF1表达

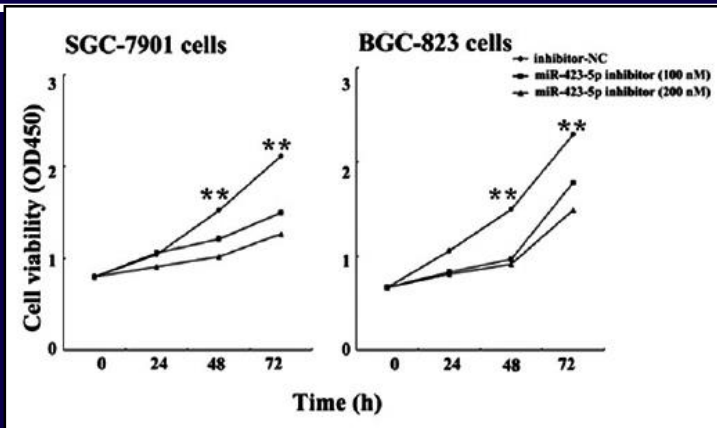
miRNA-423-5p通过靶基因TFF1调控胃癌细胞增殖与侵袭

miRNA423-5p regulates cell proliferation and invasion by targeting TFF1 in GC cells

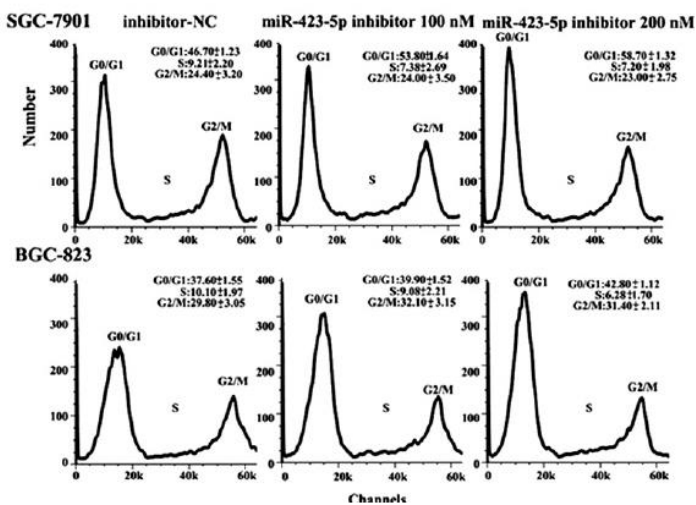


miRNA-423-5p通过靶基因TFF1调控胃癌细胞增殖与侵袭

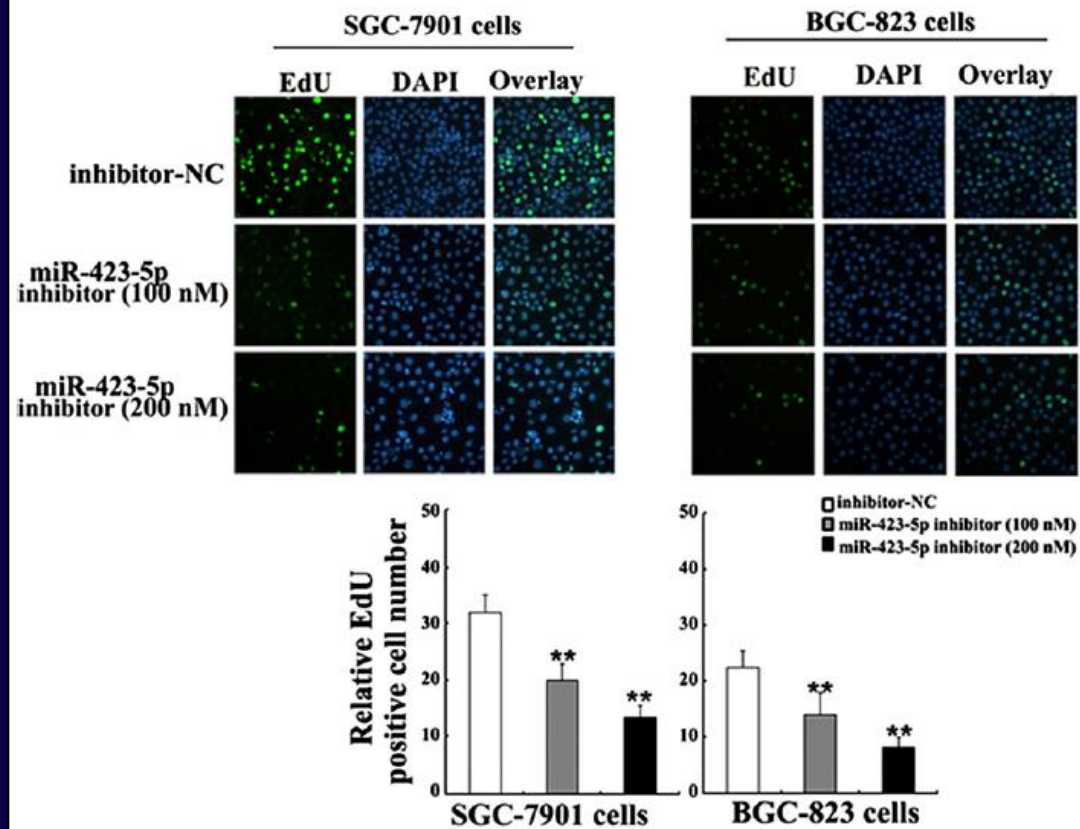
miRNA423-5p regulates cell proliferation and invasion by targeting TFF1 in GC cells



A. MTT检测细胞增殖



C. 流式细胞分析细胞周期



B. EDU检测细胞增殖

Fig. 3 miRNA-423-5p促进胃癌细胞增殖，抑制迁移、侵袭，诱导细胞周期G0/G1-S转换

转录因子SP3调控TFF2表达

The regulation of trefoil factor 2 expression by the transcription factor Sp3

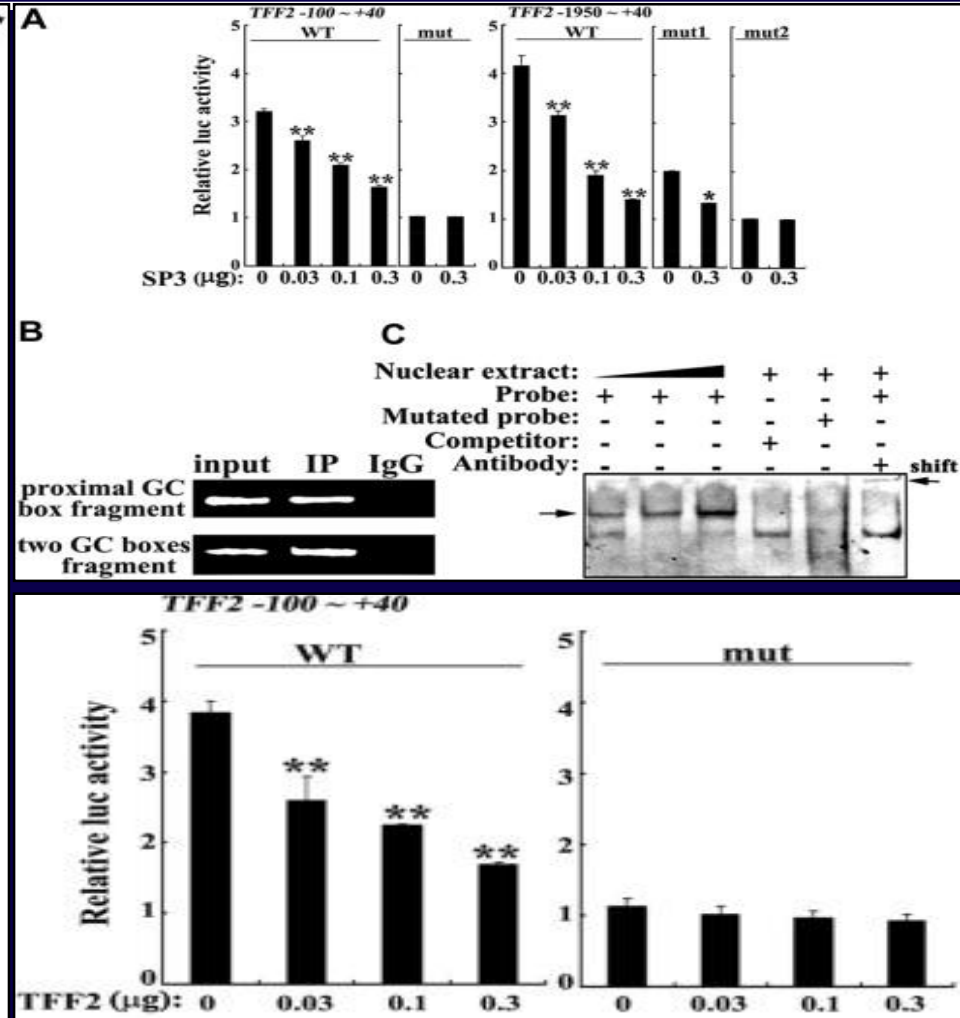
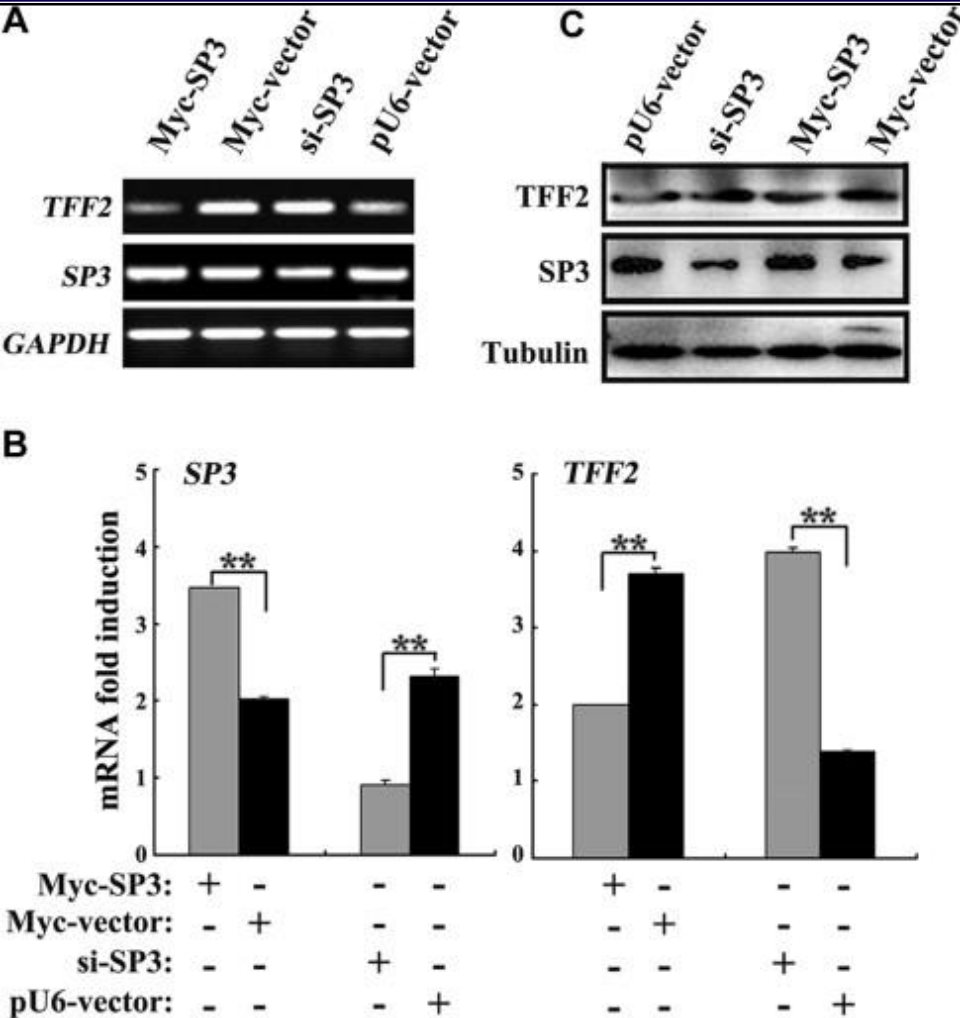
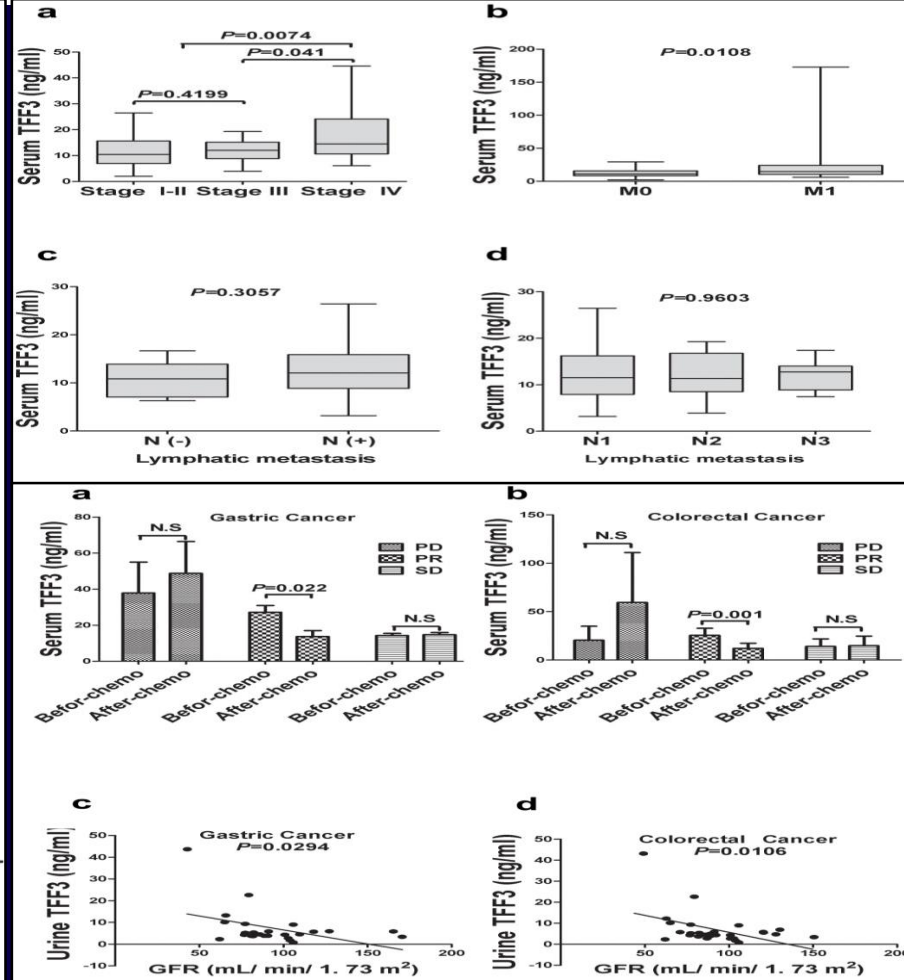
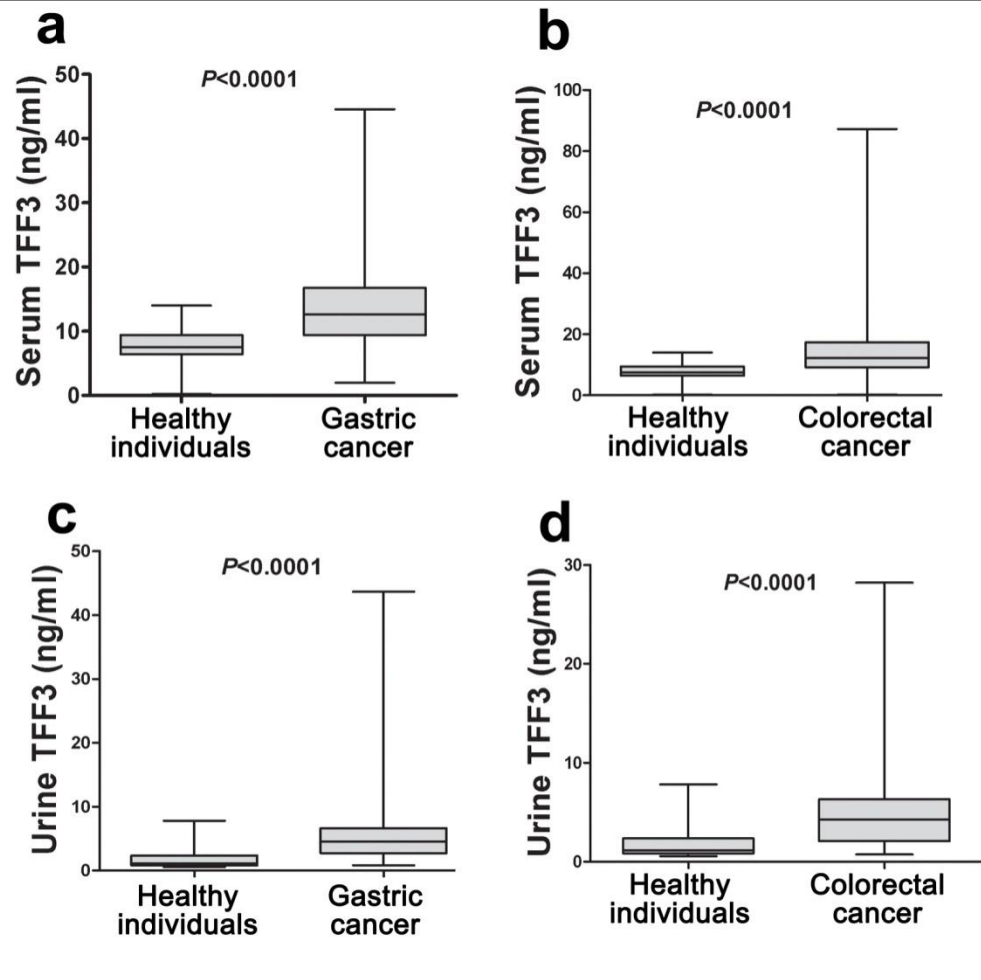


Fig. 1 胃粘膜上皮细胞GES-1中SP3负向调控TFF2表达

Fig. 3 TFF2剂量依赖性抑制SP3转录活性

血清及尿液TFF3 检测在胃肠道肿瘤诊断及化疗监测中的意义

Clinical significance in diagnosis and chemotherapy monitoring in patients with gastrointestinal cancer with tests for serum and urine levels of TFF3



胃癌与结直肠癌患者血清、尿液TFF3水平明显高于健康人群，血清TFF3水平可用于监测进展期胃癌和结直肠癌化疗疗效

Li Xiao, Yun-Peng Liu, Jian-Lin Ren et al.
BMC gastroenterology

缺氧条件下胃癌细胞株SGC-7901中TFF3诱导VEGF表达

TFF3 mediated induction of VEGF via hypoxia in human gastric cancer SGC-7901 cells

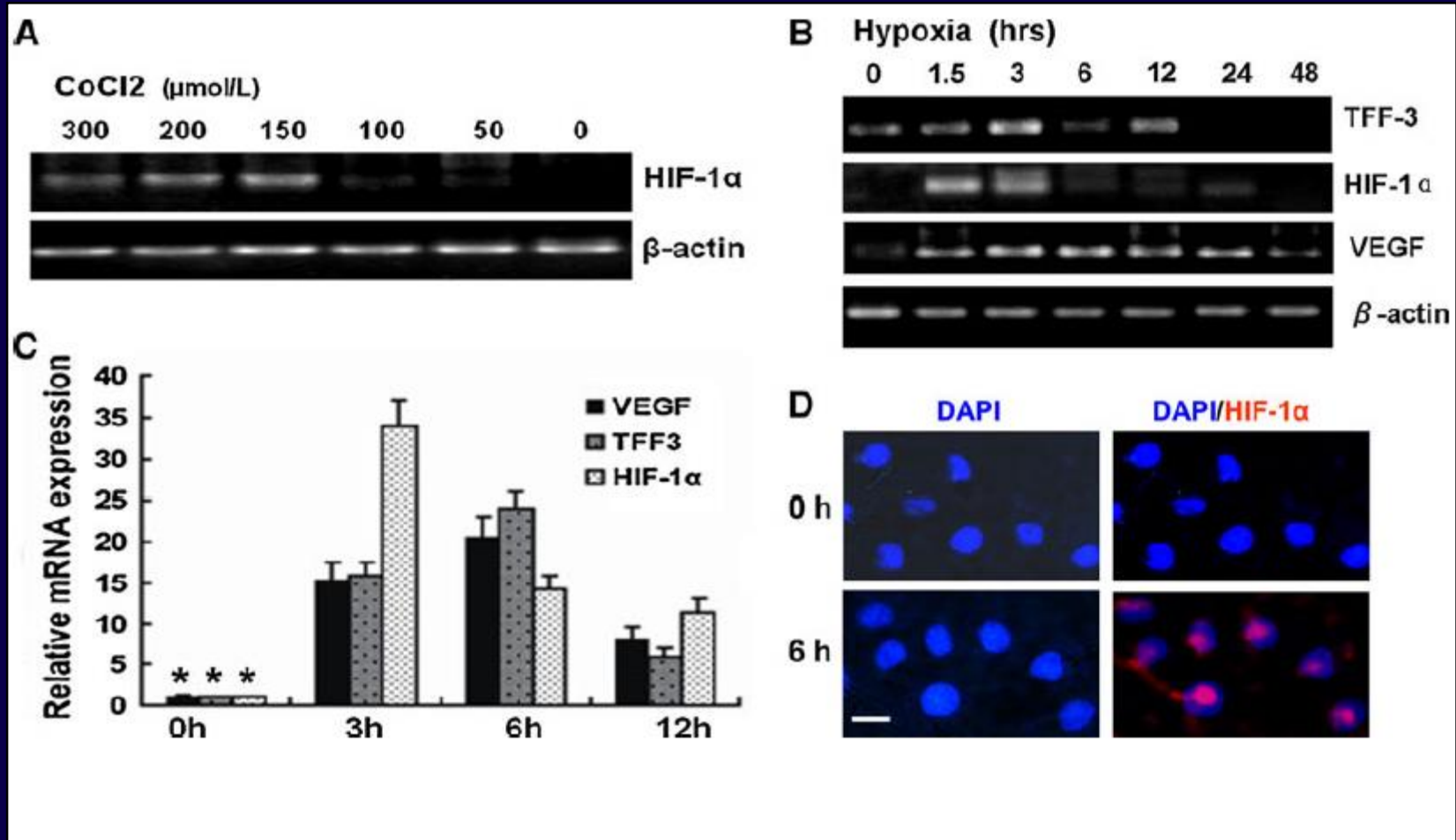


Fig.1 CoCl₂诱导缺氧条件下SGC-7901中HIF-1α、TFF3、VEGF表达升高

Guleng B, Han J, Ren JL et al. *Mol Biol Rep.* 2012;39:4127-4134

缺氧条件下胃癌细胞株SGC-7901中TFF3诱导VEGF表达

TFF3 mediated induction of VEGF via hypoxia in human gastric cancer SGC-7901 cells

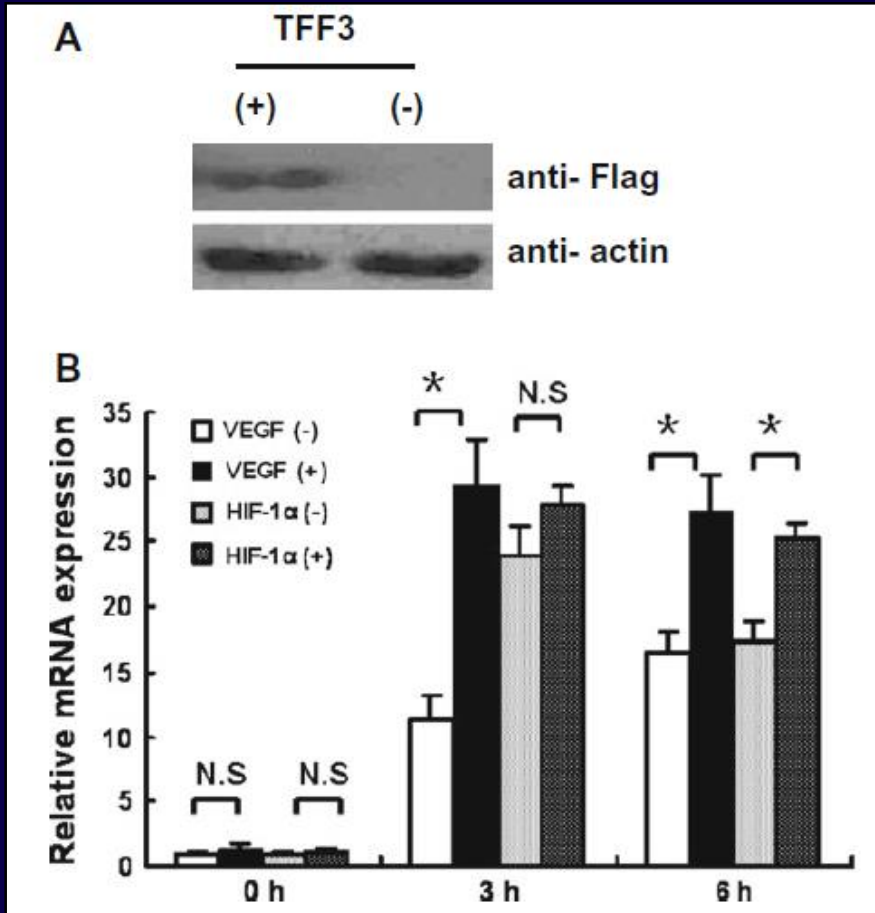


Fig. 2 缺氧条件下在SGC-7901中过表达TFF3增加VEGF、HIF-1α mRNA表达

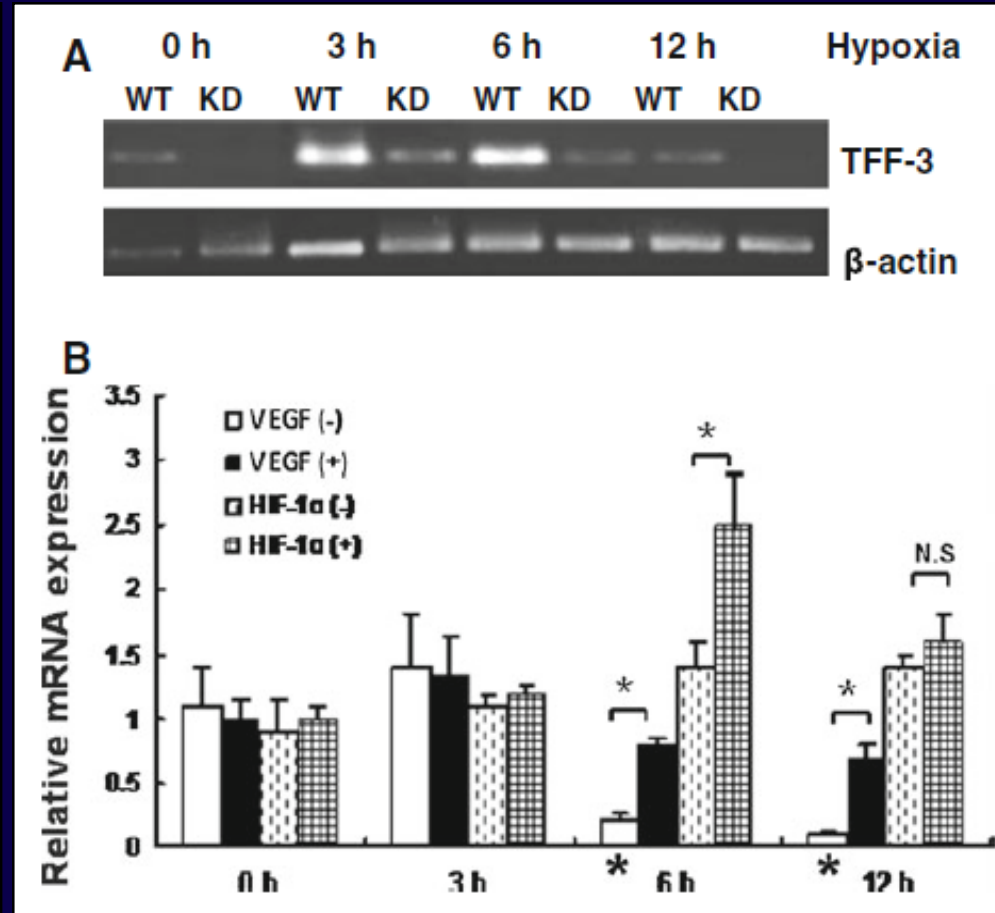
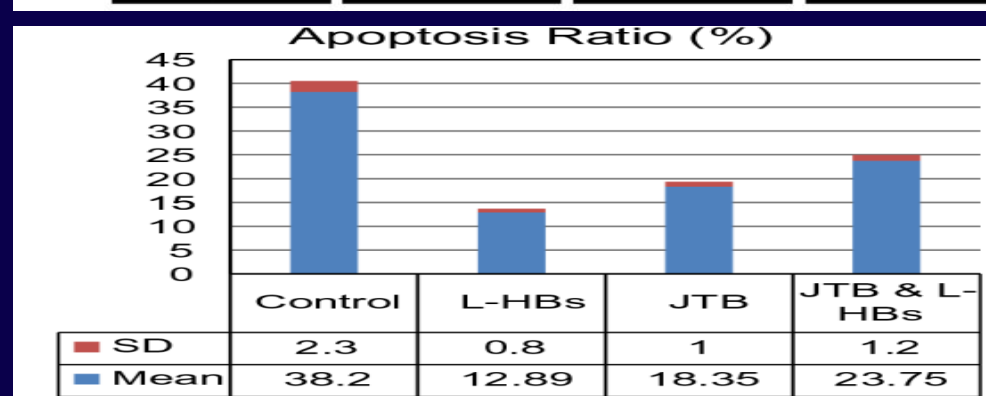
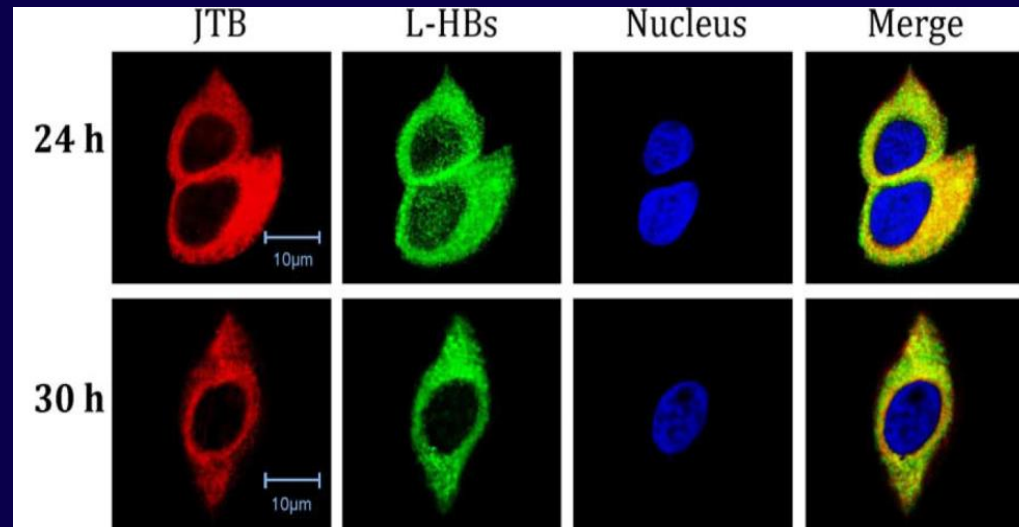
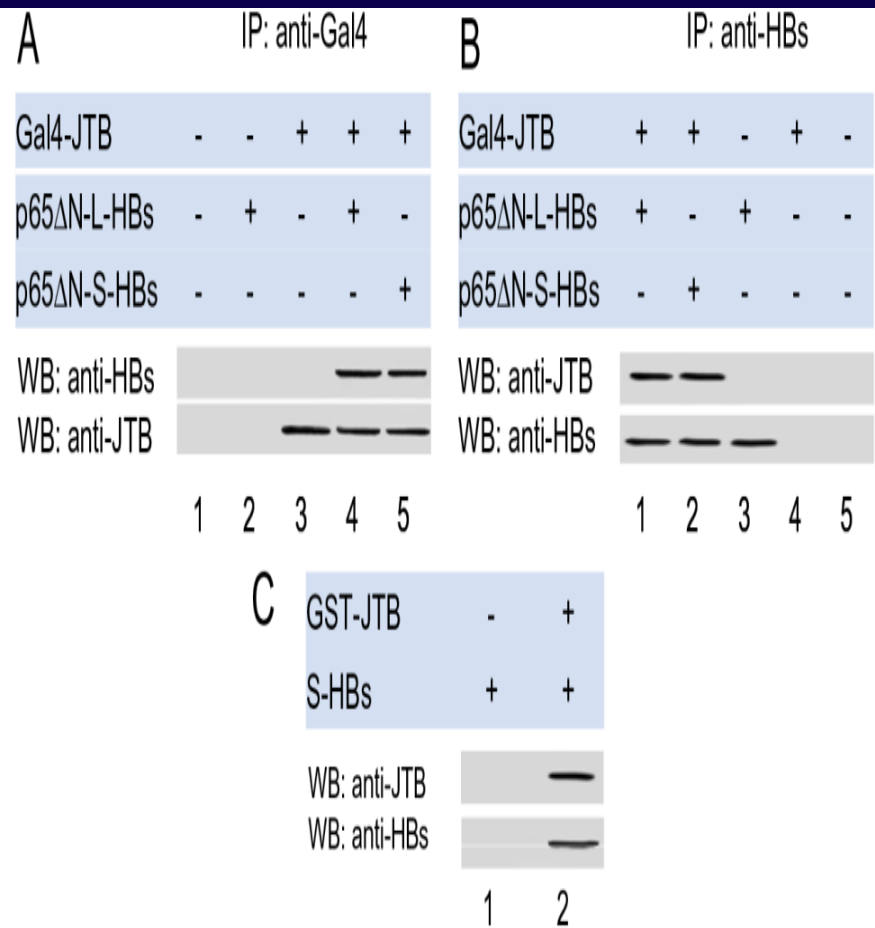


Fig. 3 缺氧条件下在SGC-7901中干扰TFF3减少VEGF、HIF-1α mRNA表达

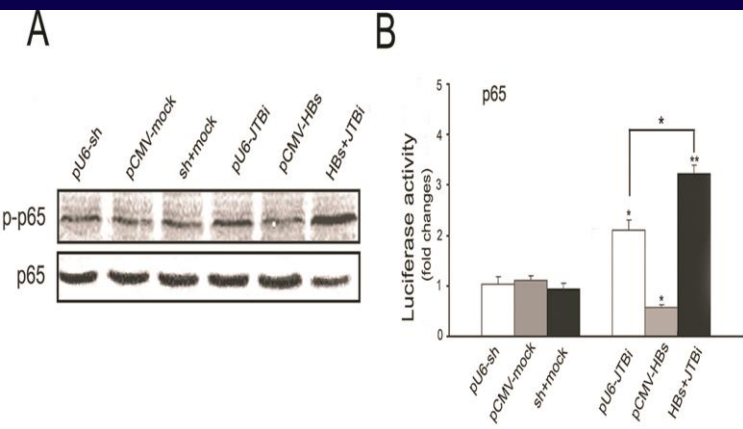
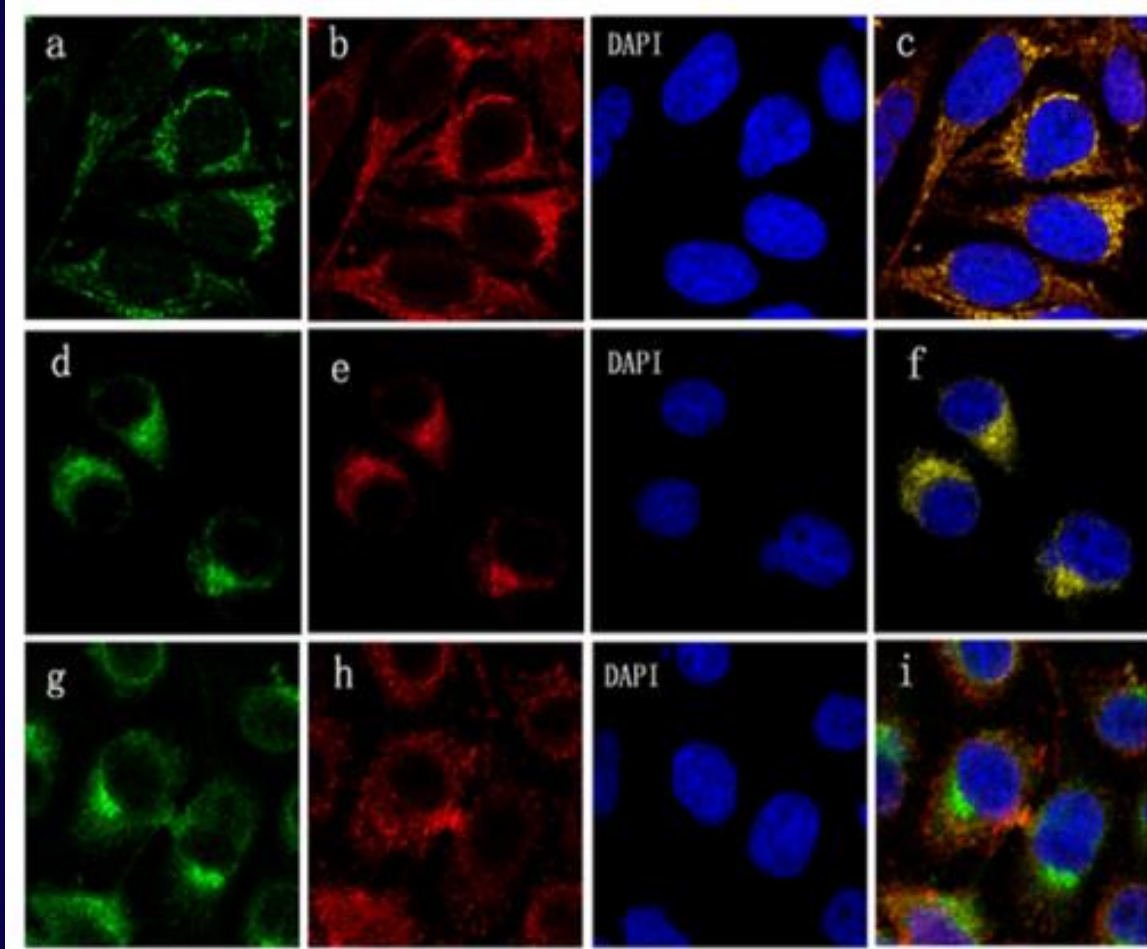
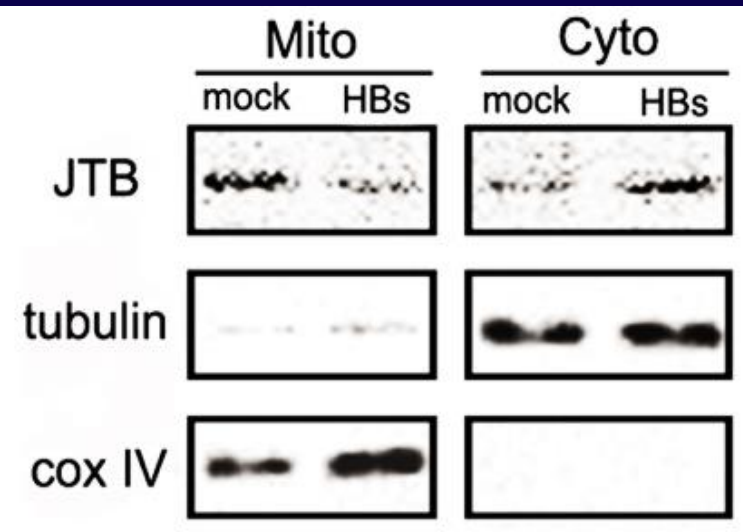
JTB与HBsAg相互结合的验证



免疫共沉淀实验显示外源表达HBsAg蛋白和JTB蛋白后，经过免疫共沉淀的正向和反向验证均证明HBsAg与JTB存在共结合现象。

Liu YP, Ren JL et al. HBsAg inhibits the translocation of JTB into mitochondria in HepG2 cells and potentially plays a role in HCC progression, PLoS One 7 (2012) e36914

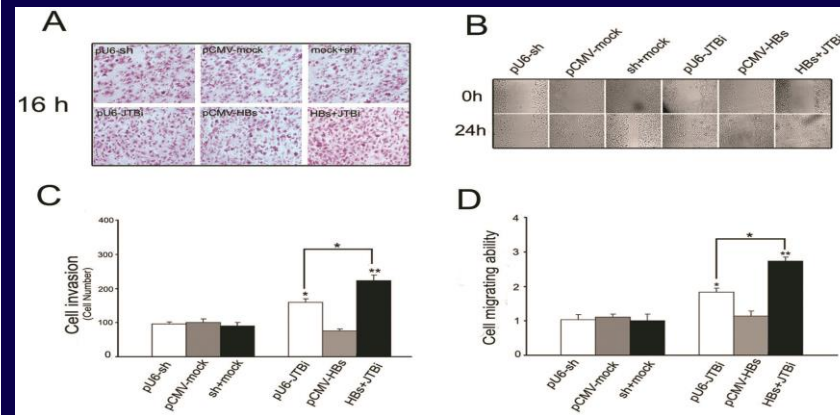
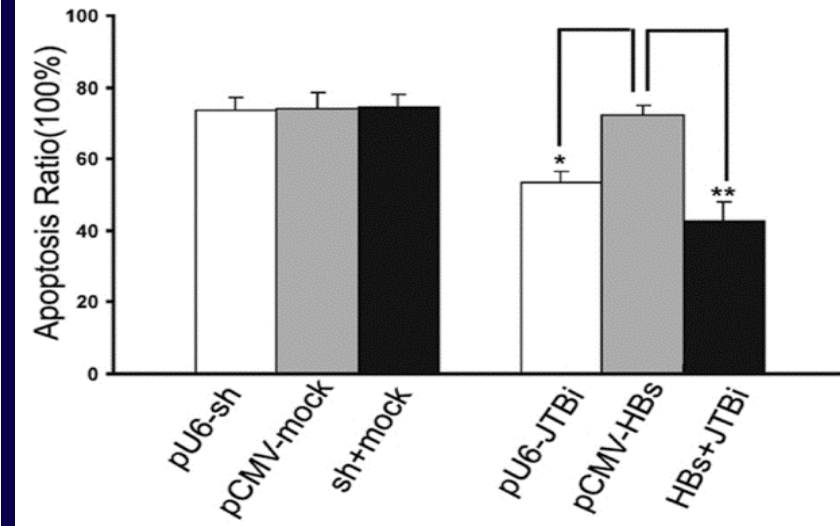
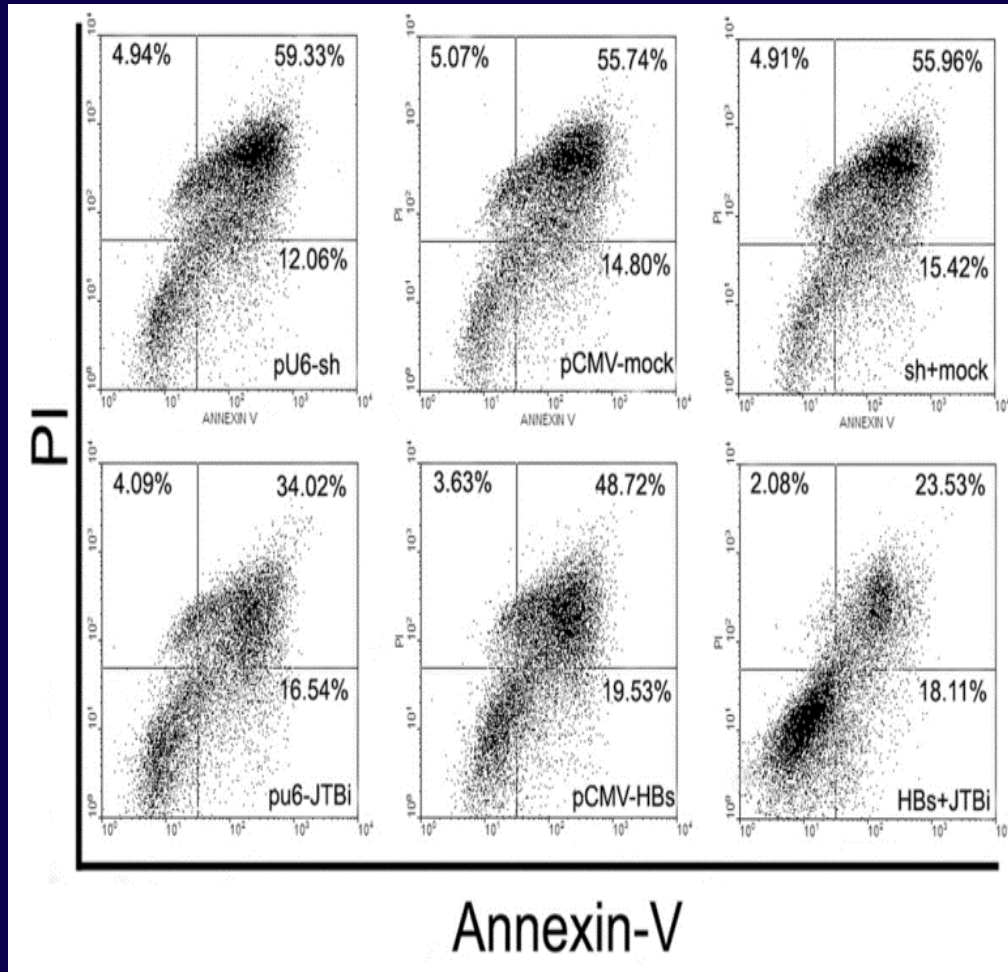
JTB与HBsAg相互作用促进肝癌细胞恶性进展



左图显示当细胞外源表达HBsAg时，JTB的细胞定位发生改变，线粒体中德JTB含量逐渐减少而细胞之中的JTB含量逐渐增多，说明HBsAg可以抑制JTB的线粒体定位过程。右图通过免疫荧光共聚焦的方法证明HBsAg的过表达可以使JTB与线粒体的共定位效应消失。验证了HBsAg对JTB的结合可以抑制JTB的线粒体定位。

Liu YP, Ren JL et al. HBsAg inhibits the translocation of JTB into mitochondria in HepG2 cells and potentially plays a role in HCC progression, PLoS One 7 (2012) e36914

JTB与HBsAg相互作用促进肝癌细胞恶性进展

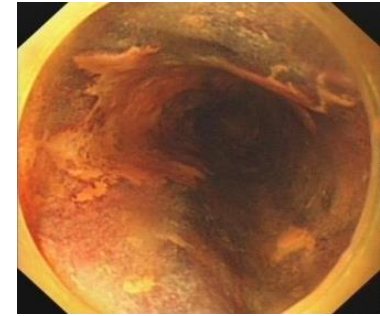
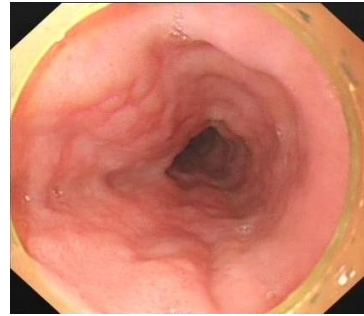


JTB与HBsAg的相互作用抑制氧化应激诱导的肝癌细胞凋亡，基因沉默JTB时细胞抗凋亡作用有所增强，当外源表达HBsAg的同时再基因沉默JTB时，抗凋亡能力明显增强。证明JTB与HBsAg均有协同作用。

Liu YP, Ren JL et al. HBsAg inhibits the translocation of JTB into mitochondria in HepG2 cells and potentially plays a role in HCC progression, PLoS One 7 (2012) e36914

早癌诊断手段—染色内镜

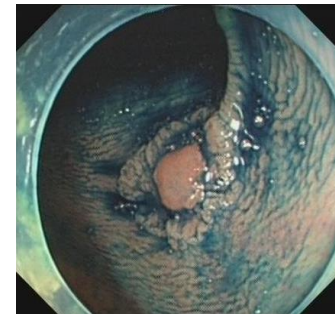
食管：Lugol`s碘染色



胃角：靛胭脂染色

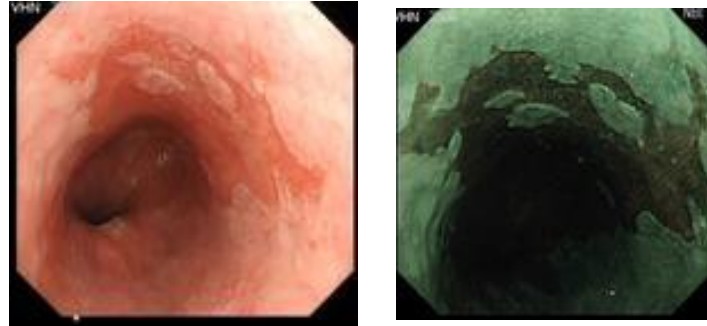


结肠：靛胭脂染色

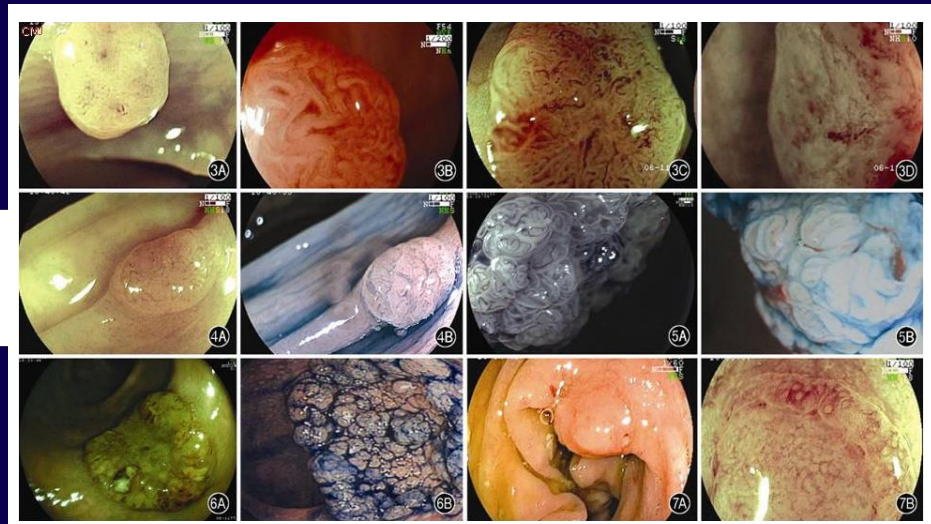


早癌诊断手段——电子染色内镜

NBI

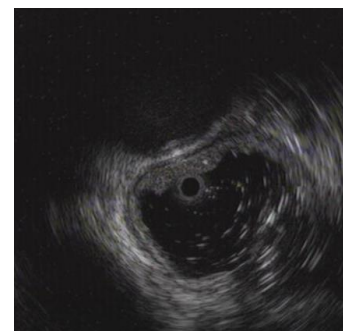
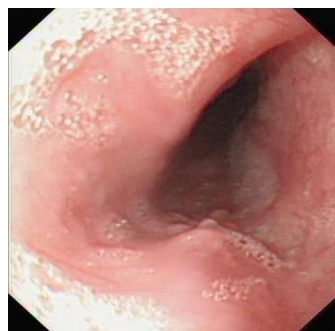


FICE

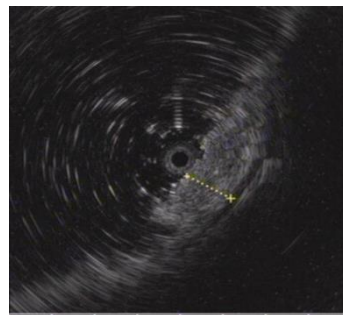
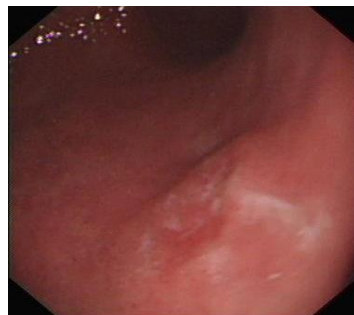


早癌诊断手段——超声内镜

食管早癌

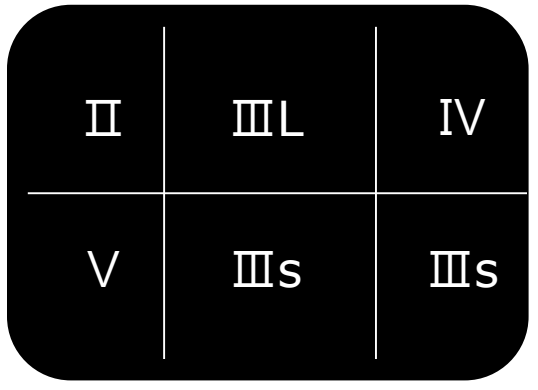
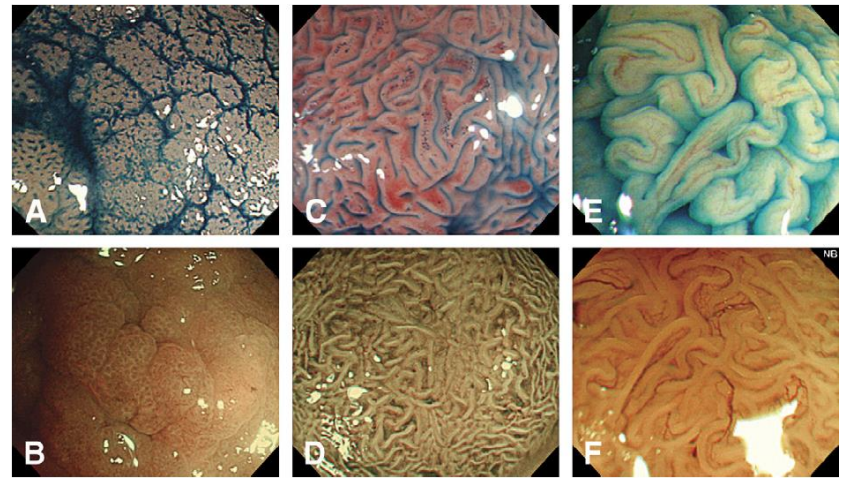
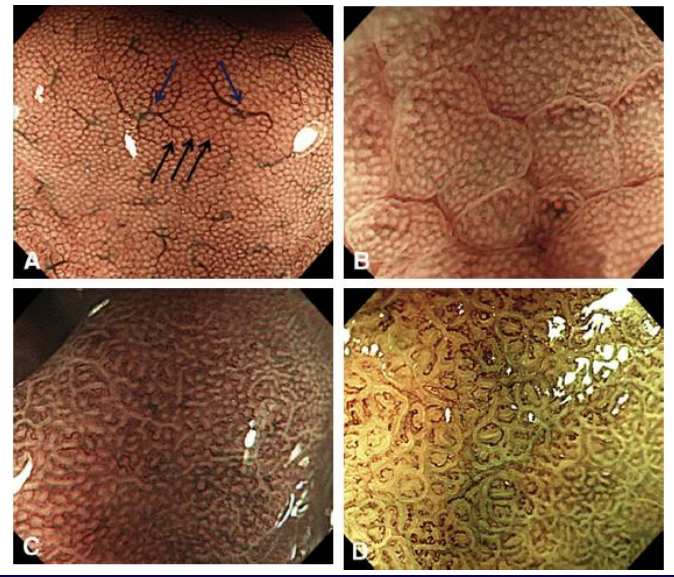


胃早癌



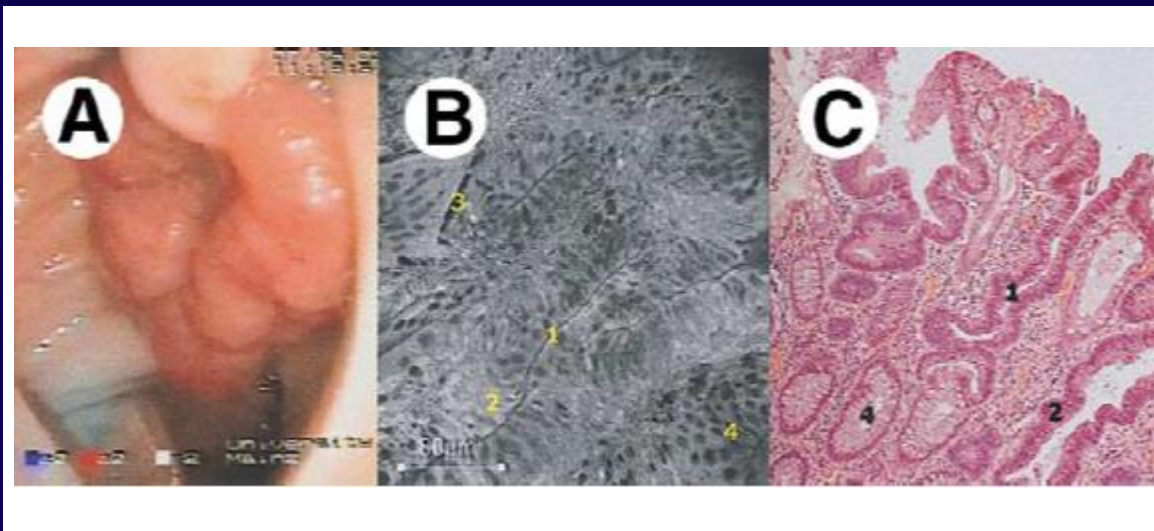
早癌诊断手段——放大内镜

胃早癌
(放大结合NBI)



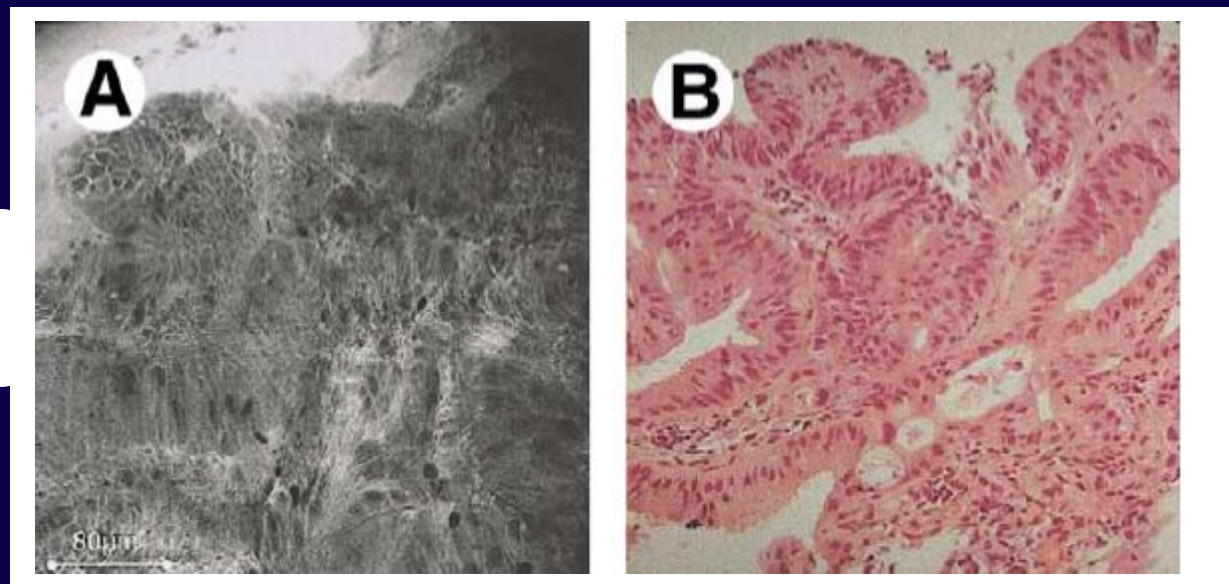
结肠病灶
(染色结合放大)

早癌诊断手段—激光共聚焦



腺瘤
(高级别上皮内瘤变)

肠癌



早期内镜治疗方法

- 激光治疗
 - Nd:YAG 激光治疗
 - 钬激光治疗
- 微波凝固治疗
- 光动力学疗法 (Photodynamic Therapy, PDT)
- 氩离子血浆凝固术 (Argon Plasma Coagulation, APC)
- 内镜黏膜切除术 (Endoscopic Mucosal Resection, EMR)
- 内镜黏膜下剥离术 (Endoscopic Submucosal Dissection, ESD)
- 射频消融 (Radiofrequency Ablation, RFA)



海峡两岸消化系肿瘤早期诊断和治疗基地

海峡两岸医药卫生交流协会消化病学专家委员会
厦门大学附属中山医院
新加坡国立大学医院
台湾大学附设台大医院
高雄医学大学附设医院
香港中文大学威尔斯亲王医院

拉曼内镜的研发及临床应用

- 厦门大学消化疾病研究所
厦门市消化疾病中心
- 厦门大学化学化工学院
- 新加坡国立大学医院
新加坡国立大学生物工程系

整合拉曼光谱内镜图谱

ATLAS OF HOLISTIC INTEGRATIVE
RAMAN SPECTROSCOPIC ENDOSCOPY

整合拉曼光谱内镜图谱

ATLAS OF HOLISTIC INTEGRATIVE
RAMAN SPECTROSCOPIC ENDOSCOPY



主审 | 樊代明 沈祖尧 (香港) 李兆申
主编 | 任建林 何克裕 (新加坡) 黄志伟 (新加坡)

人民卫生出版社

Confocal Raman probe

Excitation
fiber



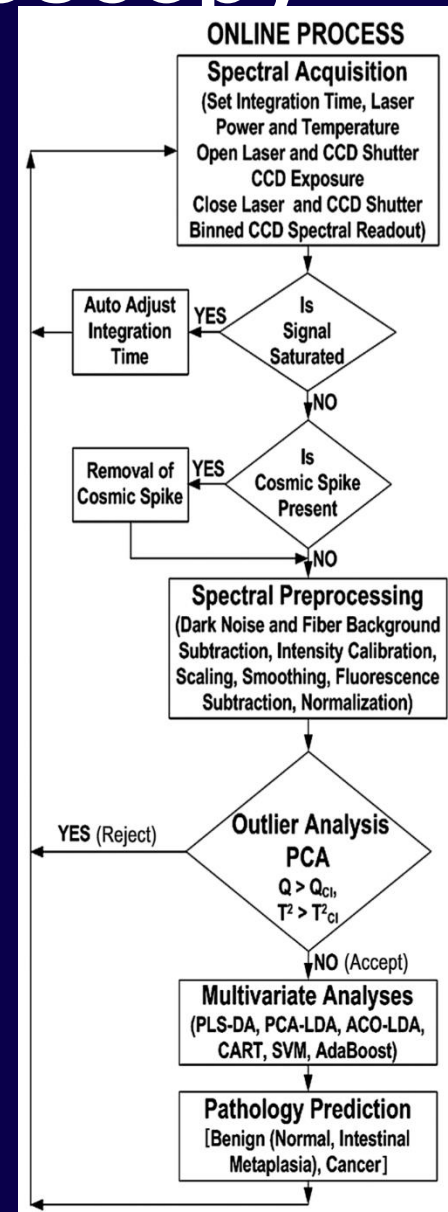
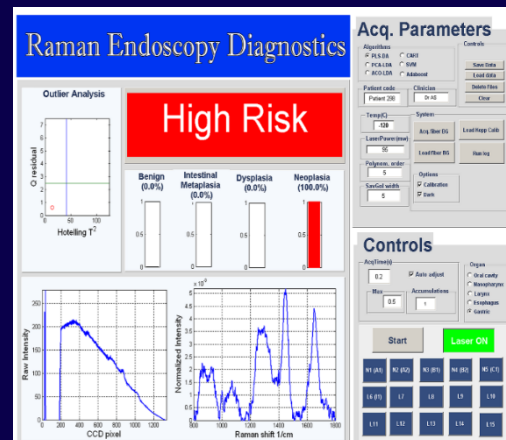
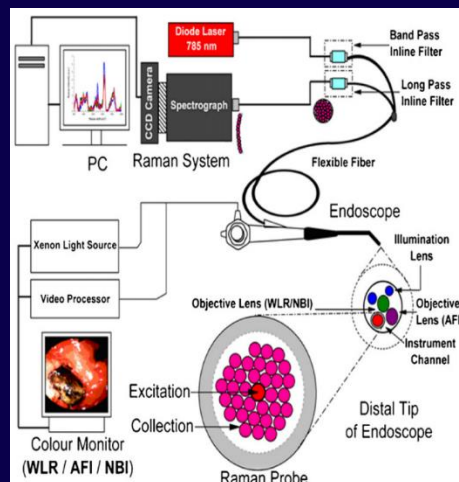
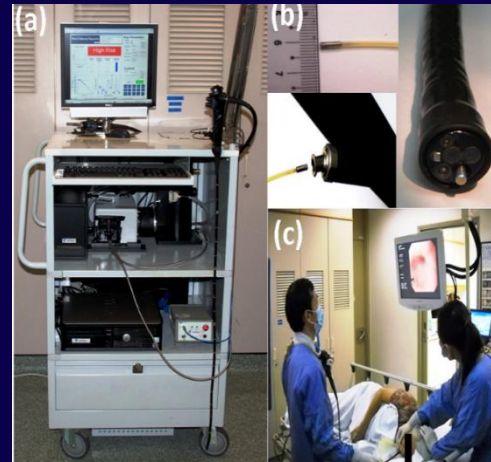
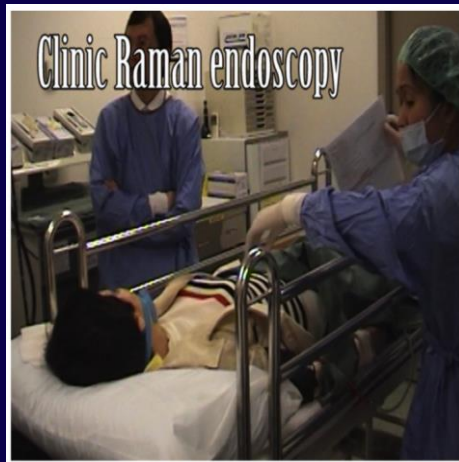
人民卫生出版社
PEOPLE'S MEDICAL PUBLISHING HOUSE

Epithelium
Stroma

AFT WLR/NBI

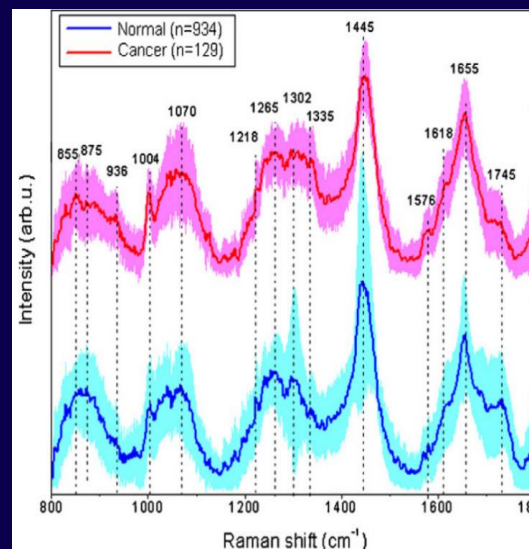
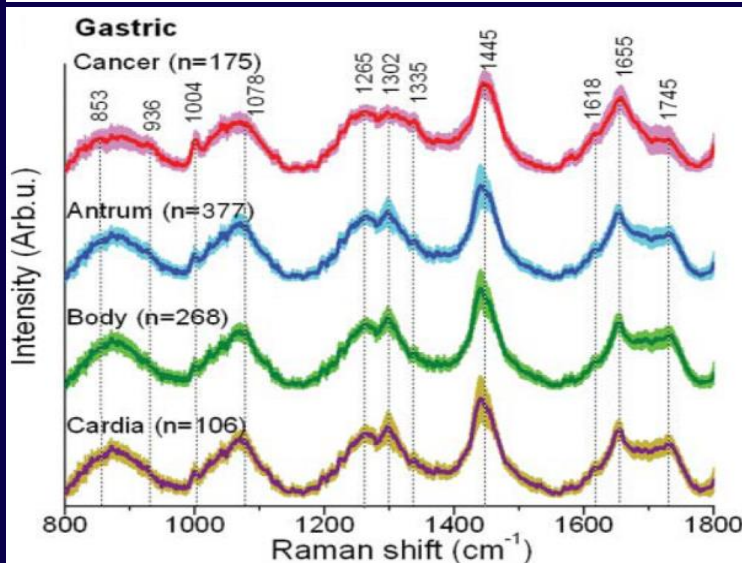
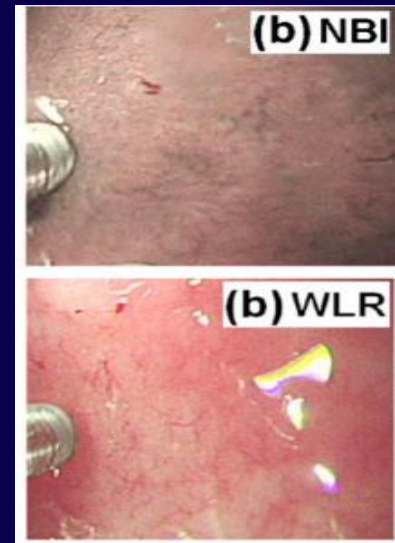
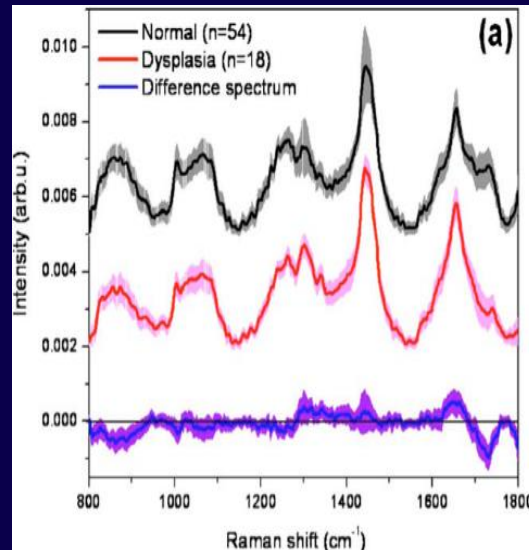
Distal tip of
endoscope

Clinic Raman endoscopy



Raman endoscopy and Gastric Cancer

853	ν (C-C)	proteins (collagen)
936	ν (C-C) in α conformation	proteins
1004	ν_s (C-C) breathing	proteins (phenylalanine)
1078	ν (C-C)	lipids
1265	Amide III ν (C-N) δ (N-H)	proteins
1302	δ (CH ₂)	proteins/lipids
1335	CH ₃ CH ₂ wagging mode	DNA/proteins
1445	δ (CH ₂)	lipids/proteins
1618	ν (C = C)	porphyrins
1655	Amide I ν (C = O)	proteins/lipids
1745	ν (C = O)	lipids

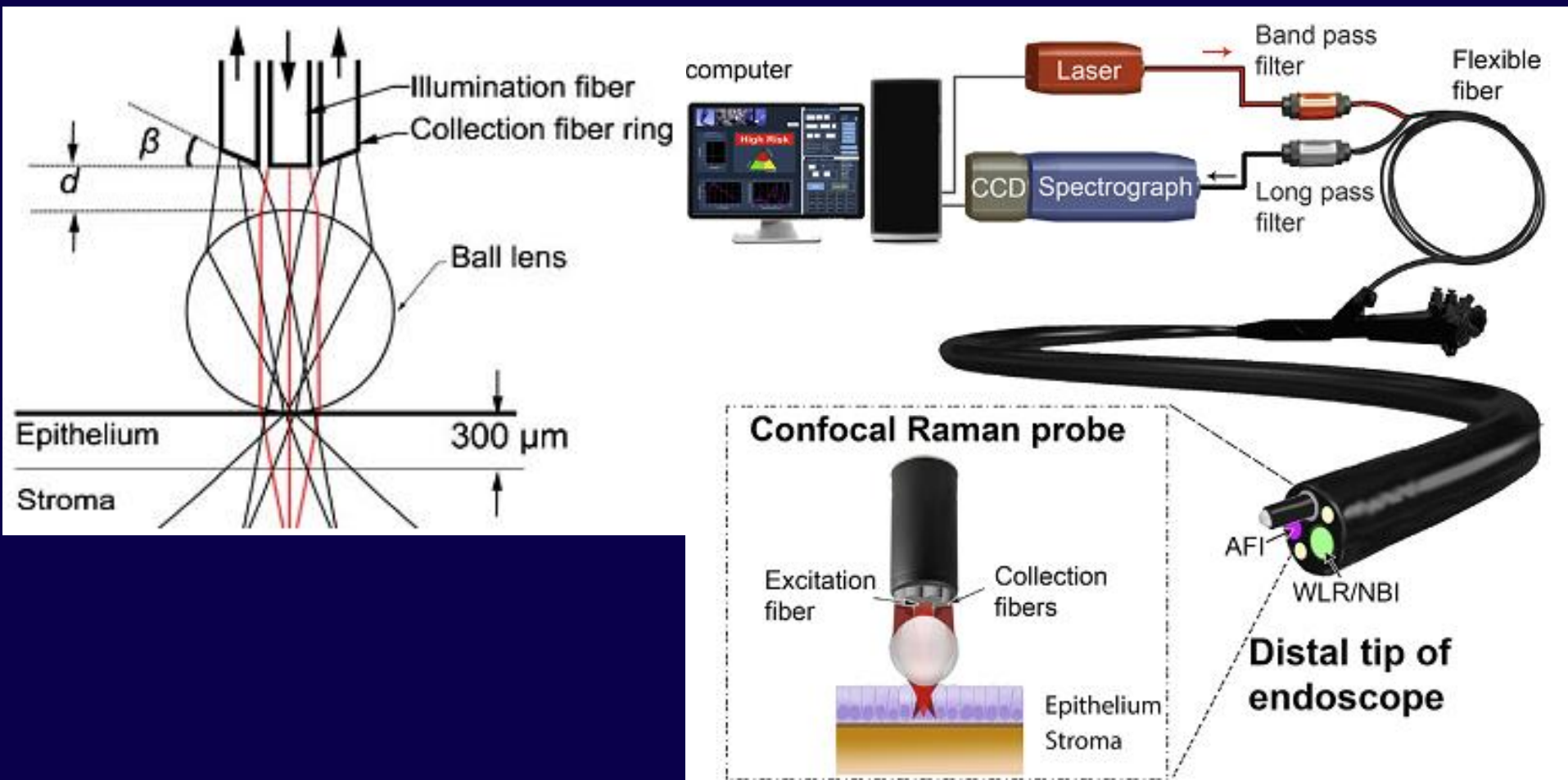


Journal of Biomedical Optics 16(2011)
Journal of Biomedical Optics 153(2010)

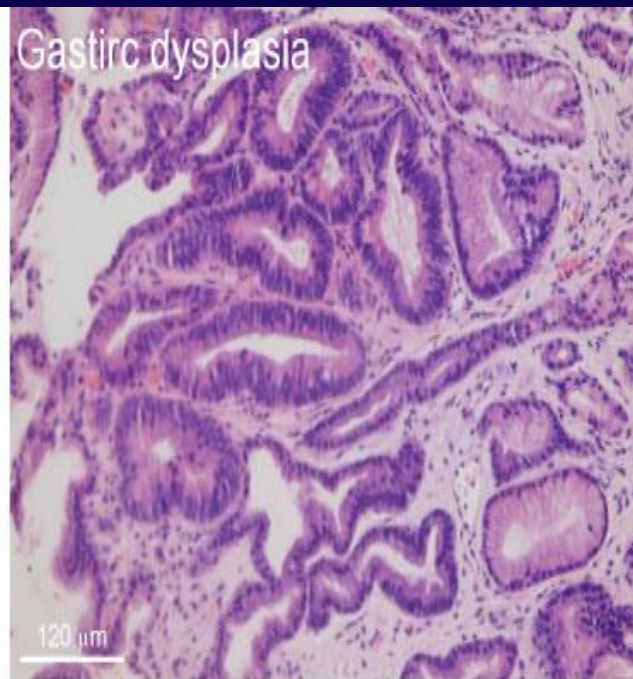
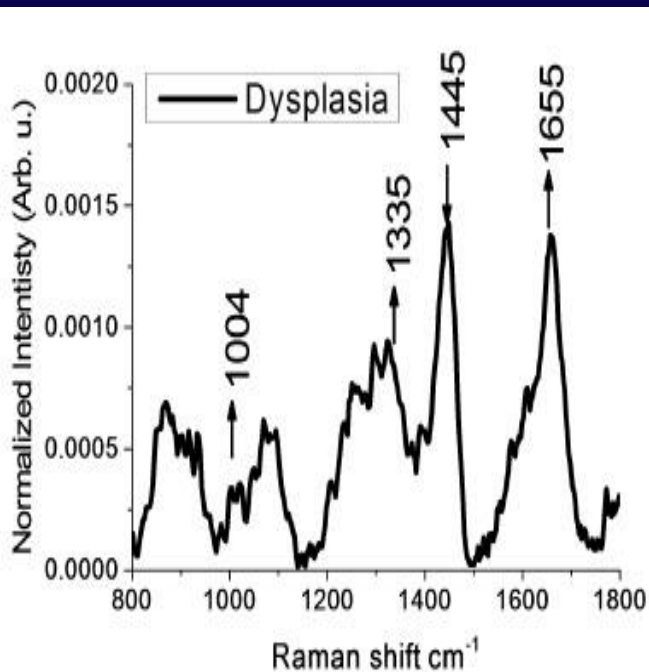
Biosensors and Bioelectronics 26
(2010)

Confocal Raman Spectroscopy

- Near-infrared diode laser (785 nm)
- Raman spectrum range 800 - 1800 cm^{-1} , Spectral resolution $\sim 9 \text{ cm}^{-1}$
- Raman probe comprises 9 x 200 μm filter-coated fibers, beveled angle (β) $\sim 20^\circ$, NA = 0.22
- Sapphire ball lens ($d = 1.0 \text{ mm}$, NA = 1.78)



Raman endoscopy and Gastric Cancer



In vivo Raman spectrum of gastric dysplasia. Dysplastic tissue shows relative increase protein (1004cm^{-1} (ν_s (C-C) ring breathing of phenylalanine) 1655cm^{-1} (amide I ν (C=O) of proteins)) and DNA content (1335cm^{-1} (adenine, guanine)) and decreased lipid content (1445cm^{-1} (δ (CH₂) deformation of lipids),)

胃异型增生的活体拉曼光谱。由拉曼光谱变化可知，异型增生组织的蛋白质（ 1004cm^{-1} ：苯环对称 C-C 键呼吸振动； 1655cm^{-1} ：蛋白质酰胺 I C=O 键振动）和 DNA（ 1335cm^{-1} ：核酸，腺嘌呤，鸟嘌呤）成分增加，同时脂质成分（ 1445cm^{-1} ：蛋白质和脂质的 CH₂ 弯曲振动形变）减少。

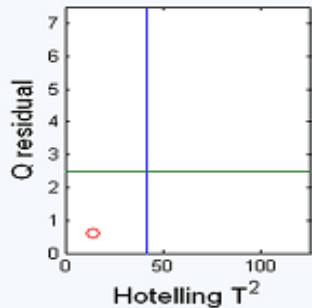
Confocal Raman Spectroscopy

Software for real-time data acquisition and diagnosis

Raman Endoscopy Diagnostics

High Risk

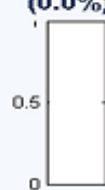
Outlier Analysis



Benign
(0.0%)



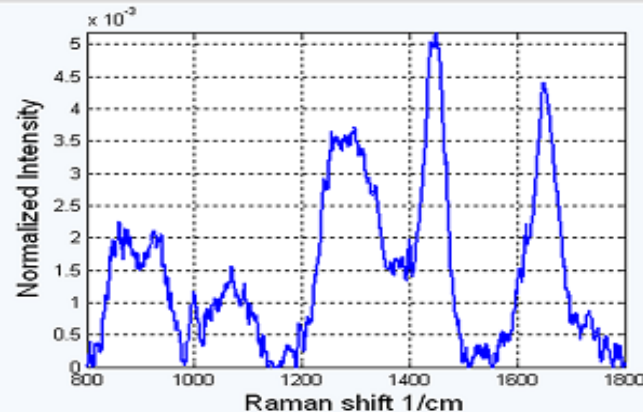
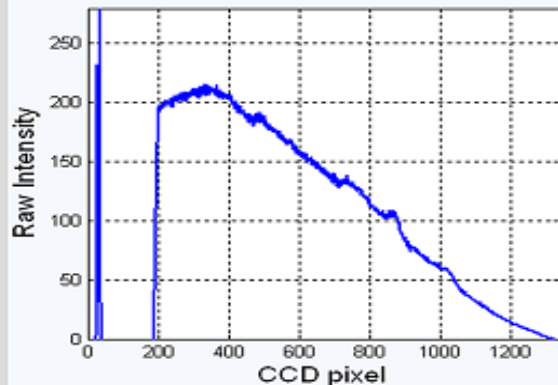
Intestinal
Metaplasia
(0.0%)



Dysplasia
(0.0%)



Neoplasia
(100.0%)



Acq. Parameters

Algorithms

- PLS-DA
- PCA-LDA
- ACO-LDA
- CART
- SVM
- Adaboost

Controls

- Save Data
- Load data
- Delete Files
- Clear

Patient code

Patient 298

Clinician

Dr AS

Temp(C)

-120

LaserPower(mw)

95

Polynom. order

5

SavGol width

5

System

Acq. fiber BG

Load fiber BG

Load Kopp Calib

Run log

Options

- Calibration
- Dark

Controls

AcqTime(s)

0.2

Auto adjust

Max

0.5

Accumulations

1

Organ

- Oral cavity
- Nasopharynx
- Larynx
- Esophagus
- Gastric

Start

Laser ON

N1 (A1)

N2 (A2)

N3 (B1)

N4 (B2)

N5 (C1)

L6 (I1)

L7

L8

L9

L10

L11

L12

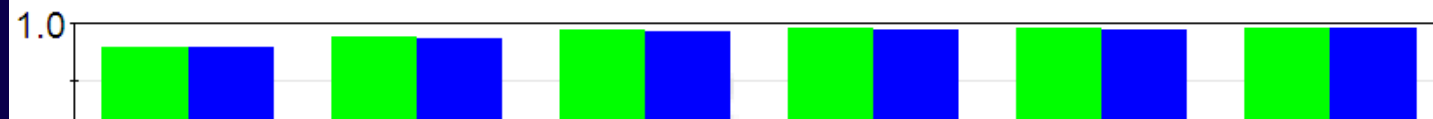
L13

L14

L15

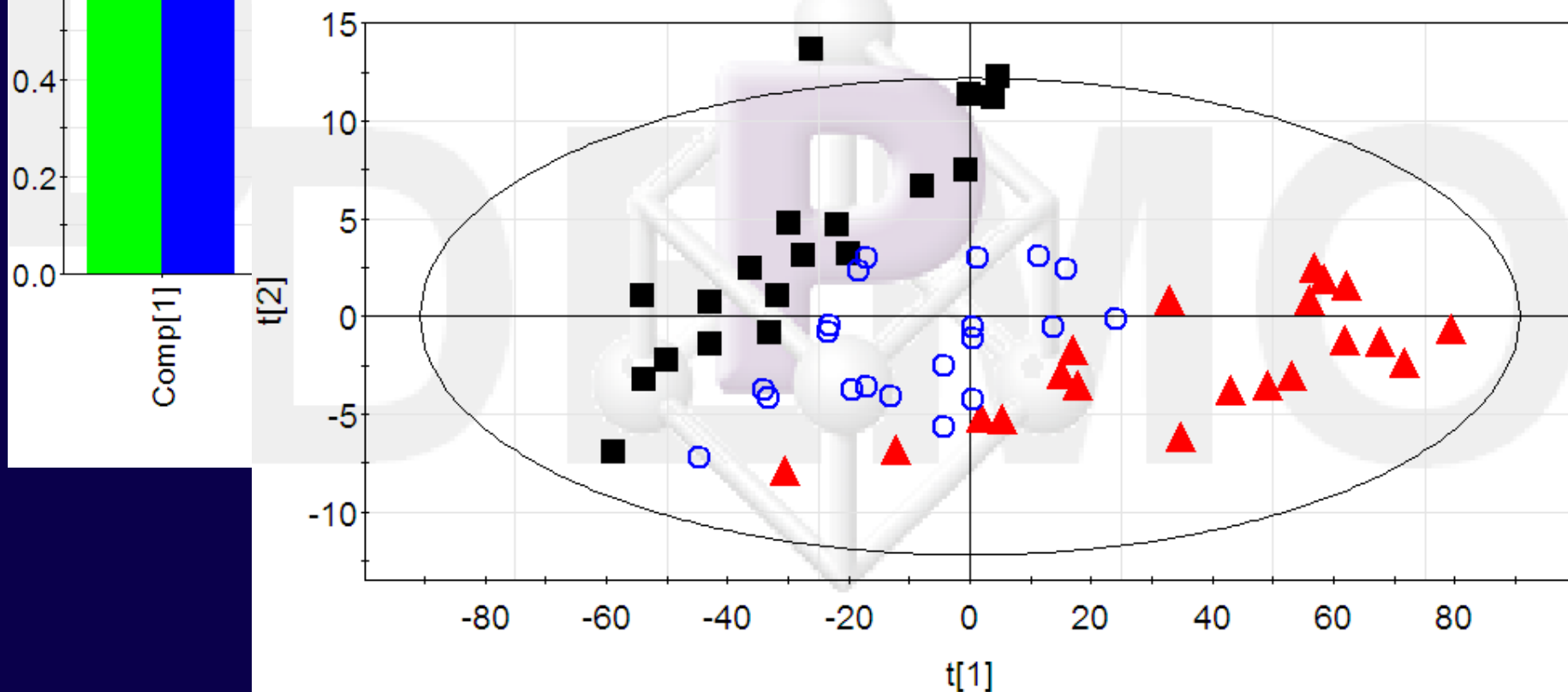
1127.M1 (PCA-X)

R2X(cum)
Q2(cum)

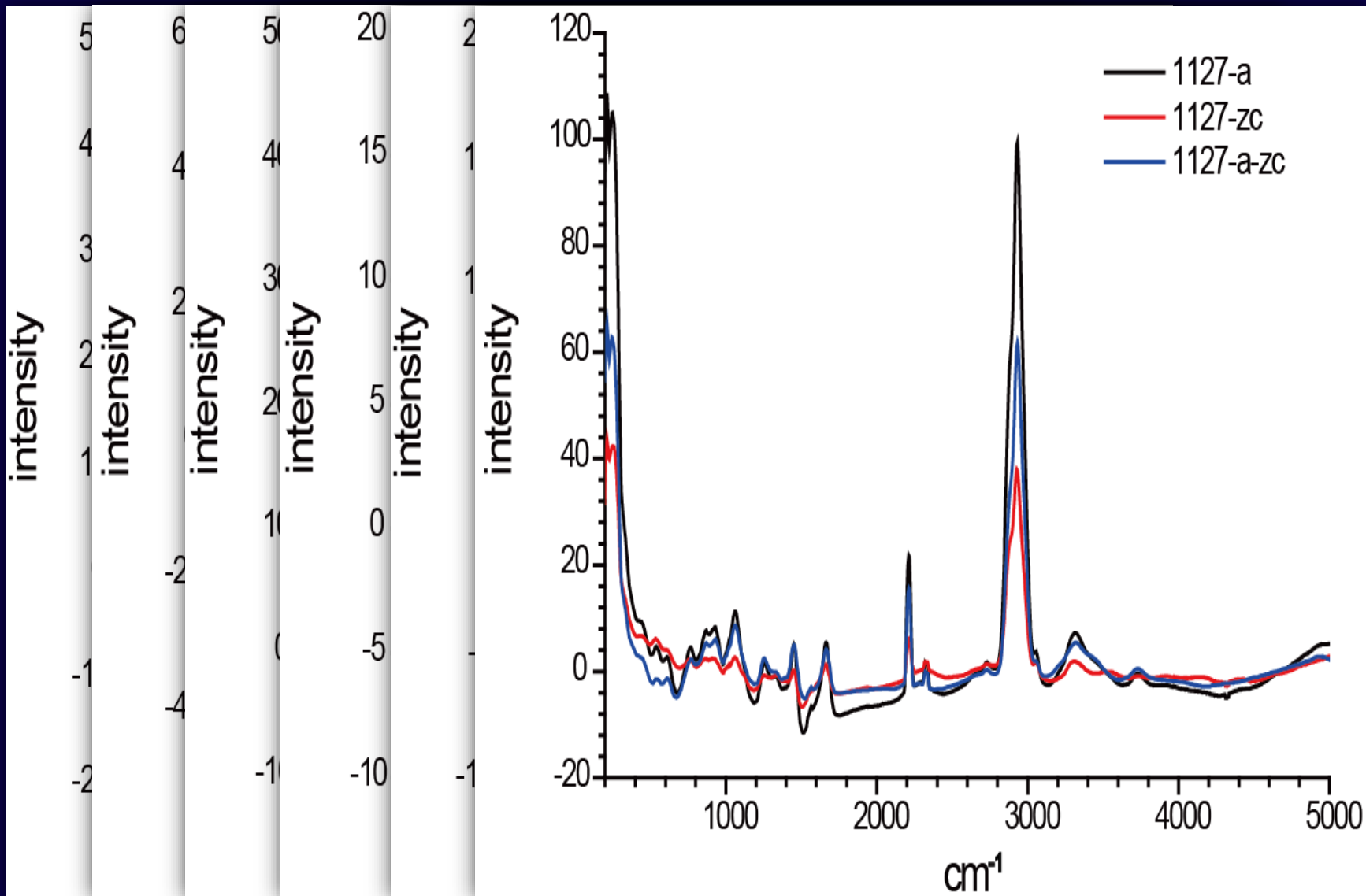


1127.M1 (PCA-X)

■ 1127-c
▲ 1127-n
○ 1127-nnc



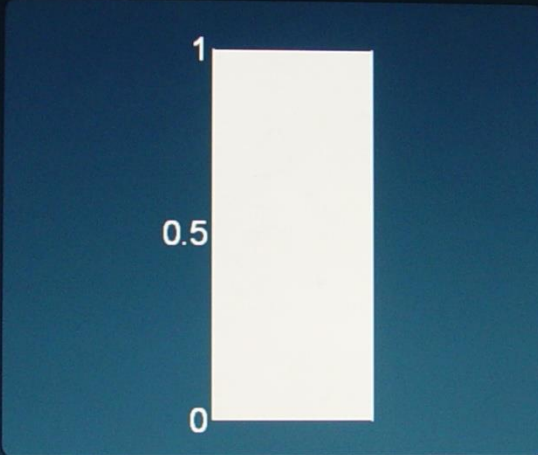
RAMAN IMAGING AND HISTOLOGICAL CHANGES





Normal

CONTACT VERIFICATION



PARAMETERS

XCR004 43 m

Controls
Spec

Save Data
Load Data
Delete Spec
Clear Files
ProcessData
Load Dark
System Calibration

Clinician: Xu **Endoscope RoomNo**: EG-450VR5 2

LaserPower(mw): 51 **Temp(C)**: -70.5

Analysis
 PLS-DA 3 class
 PLS-DA 2 class
 Custom

Diagnosis
 ON
 OFF

CONTROLS

AcqTime(s): 0.634024 Auto adjust

Max: 0.7 **Accumulations**: 1

ORGAN

- Oral cavity Colon
- Nasopharynx Cervix
- Larynx Bladder
- Esophagus
- Gastric

Stop **Laser ON**

Site 1	Site 2	Site 3	Site 4	Site 5
Site 6	Site 7	Site 8	Site 9	Site 10
Site 11	Site 12	Site 13	Site 14	Site 15



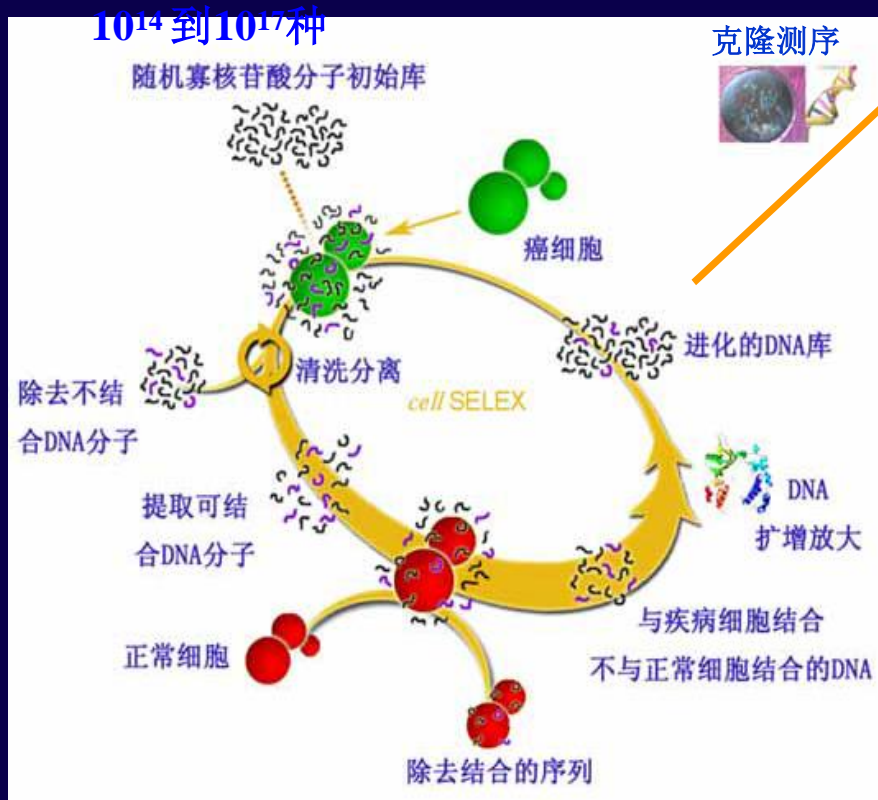
Patients and Sites number

- 175 patients recruited (in 6 weeks)
- 404 tissue sites measured (~4500 spectra)

Histopathology		Patient	Site
Normal (N)		<u>72</u>	168
Intestinal metaplasia (IM)		<u>52</u>	108
	Mild	32	
	Moderate	12	
	Severe	8	
Dysplasia (D)		<u>39</u>	92
	Atypical Hyperplasia (ATH)	28	
	Low-grade (LGIN)	8	
	High-grade (HGIN)	3	
Cancer (CA)		<u>12</u>	36

特异性核酸适体的合成筛选

指数级富集的配体系统进化法 (SELEX)



ATCG.....
核酸适体

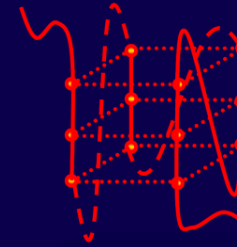
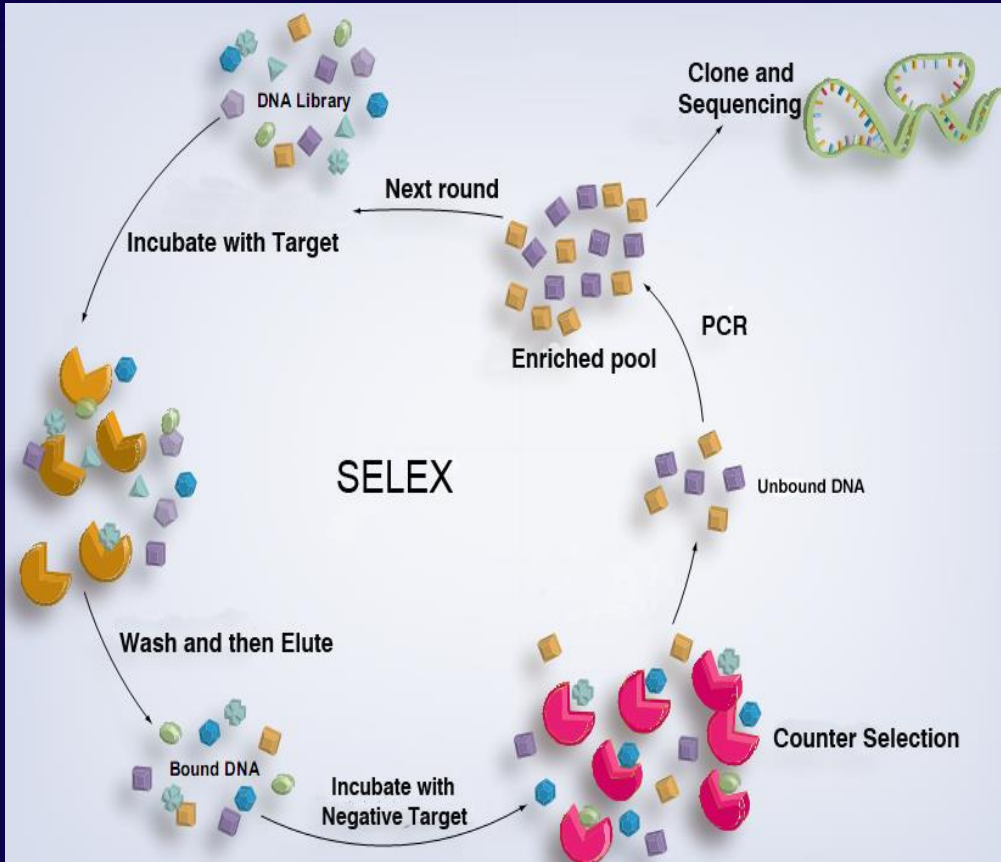
癌变组织



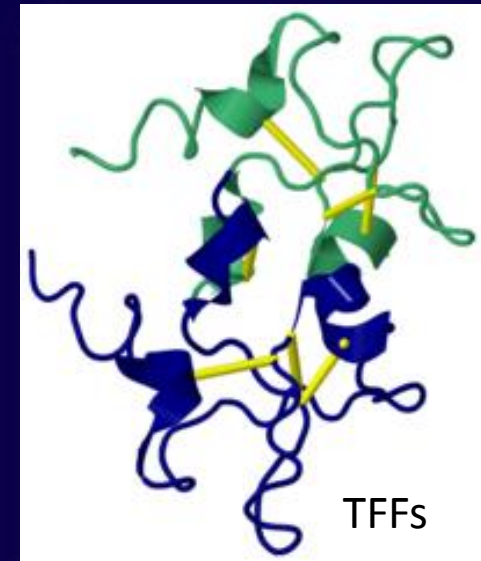
- ◆ 针对不同癌细胞的核酸适体筛选
 - ◆ 胃癌、肠癌、肝癌等
- ◆ 针对普适性肿瘤标志物的筛选
 - ◆ 上皮细胞粘附分子EpCAM
 - ◆ 肿瘤标志蛋白AGR2
 - ◆ 肝癌标志物GPC3

Defensive Factor

TFFs



Structure of aptamer



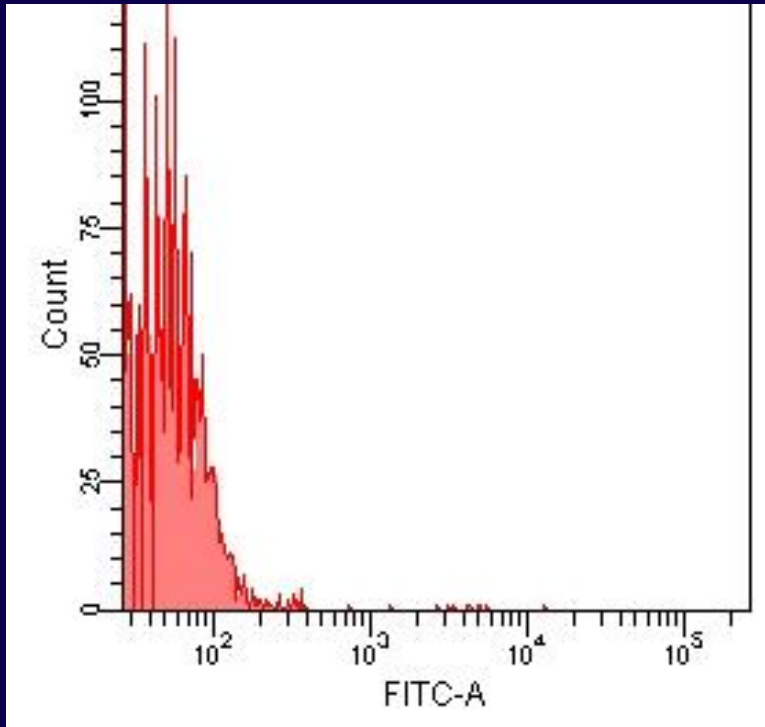
TFFs

Early molecular diagnosis

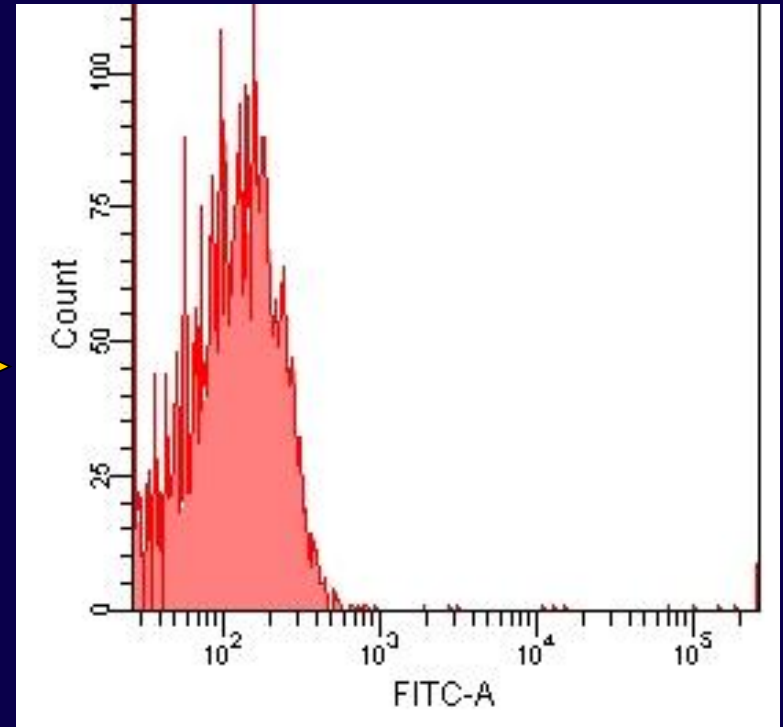
Targeted therapy

Defensive Factor

TFFs



0 cycle



15th

Screening of TFF3 aptamer

微生物生态与人类健康

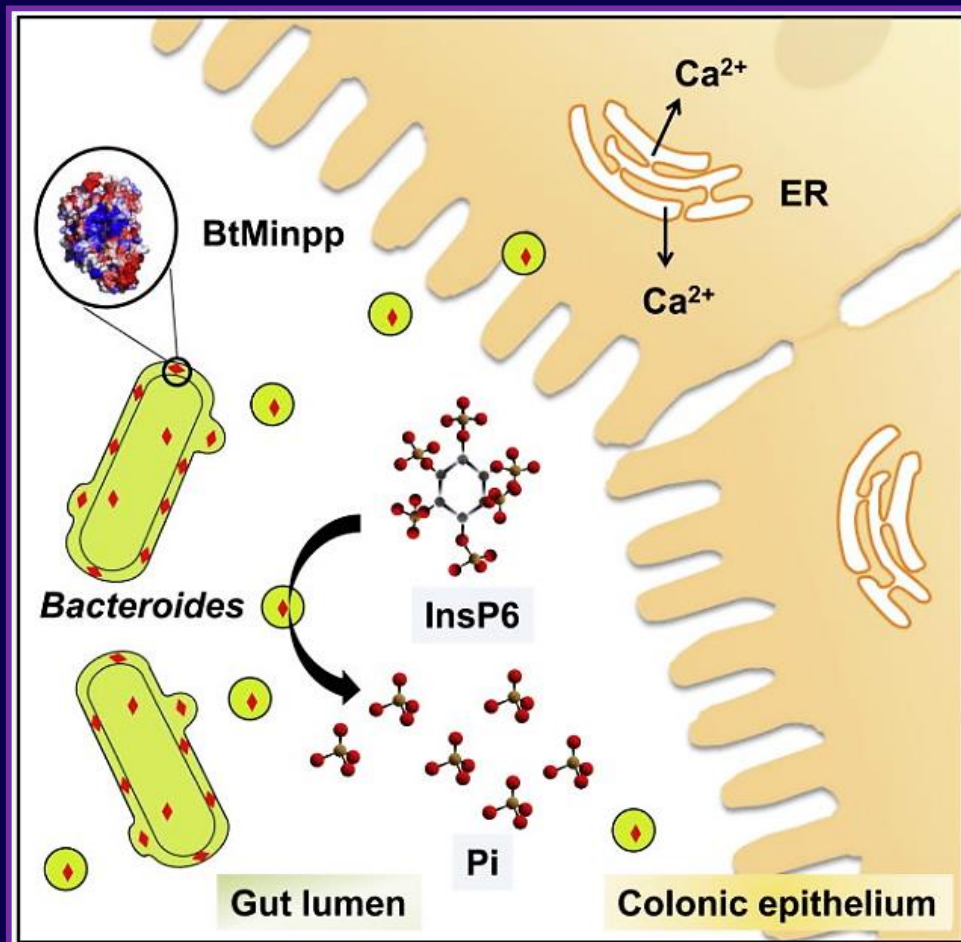
- 胃肠粘膜与胃肠微生物生态
- 粪菌移植
- 消化系分子影像
- 3D打印—消化系统

厦门大学化工学院

厦门大学分子影像中心

厦门大学材料学院

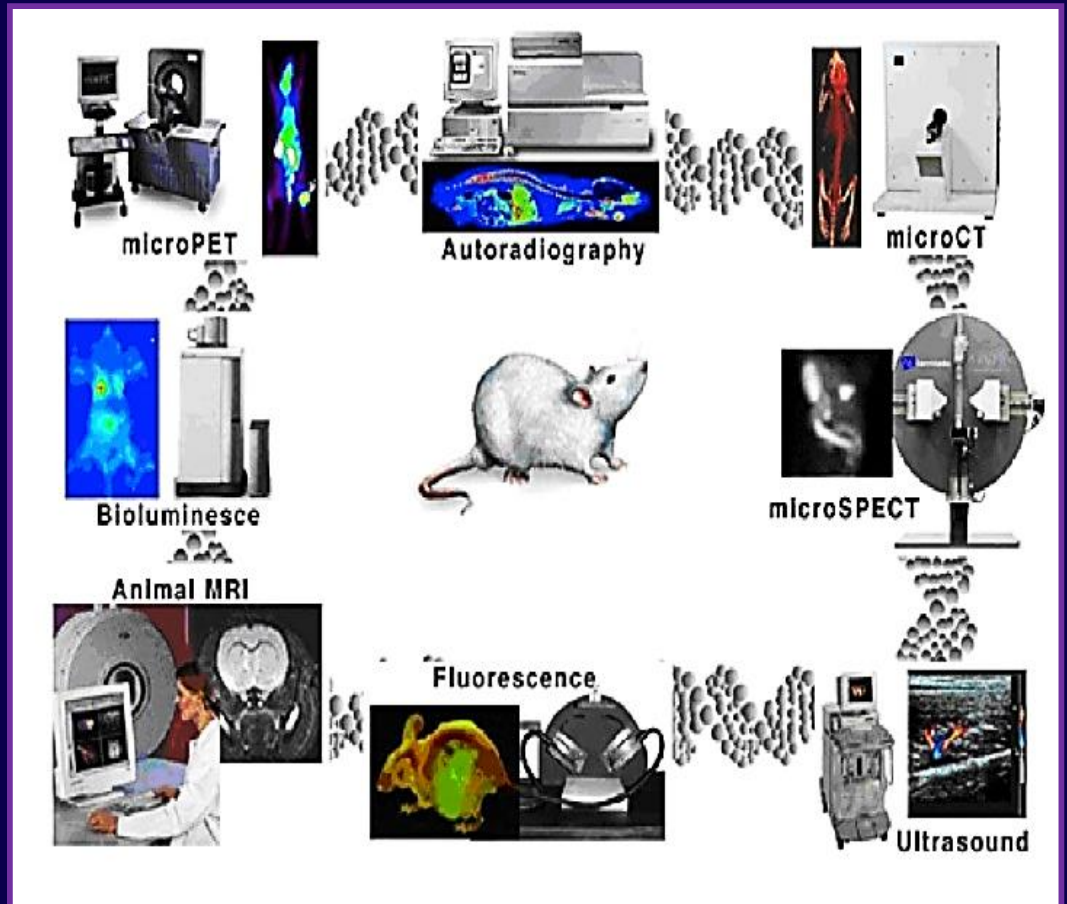
生命的信使—化学分子



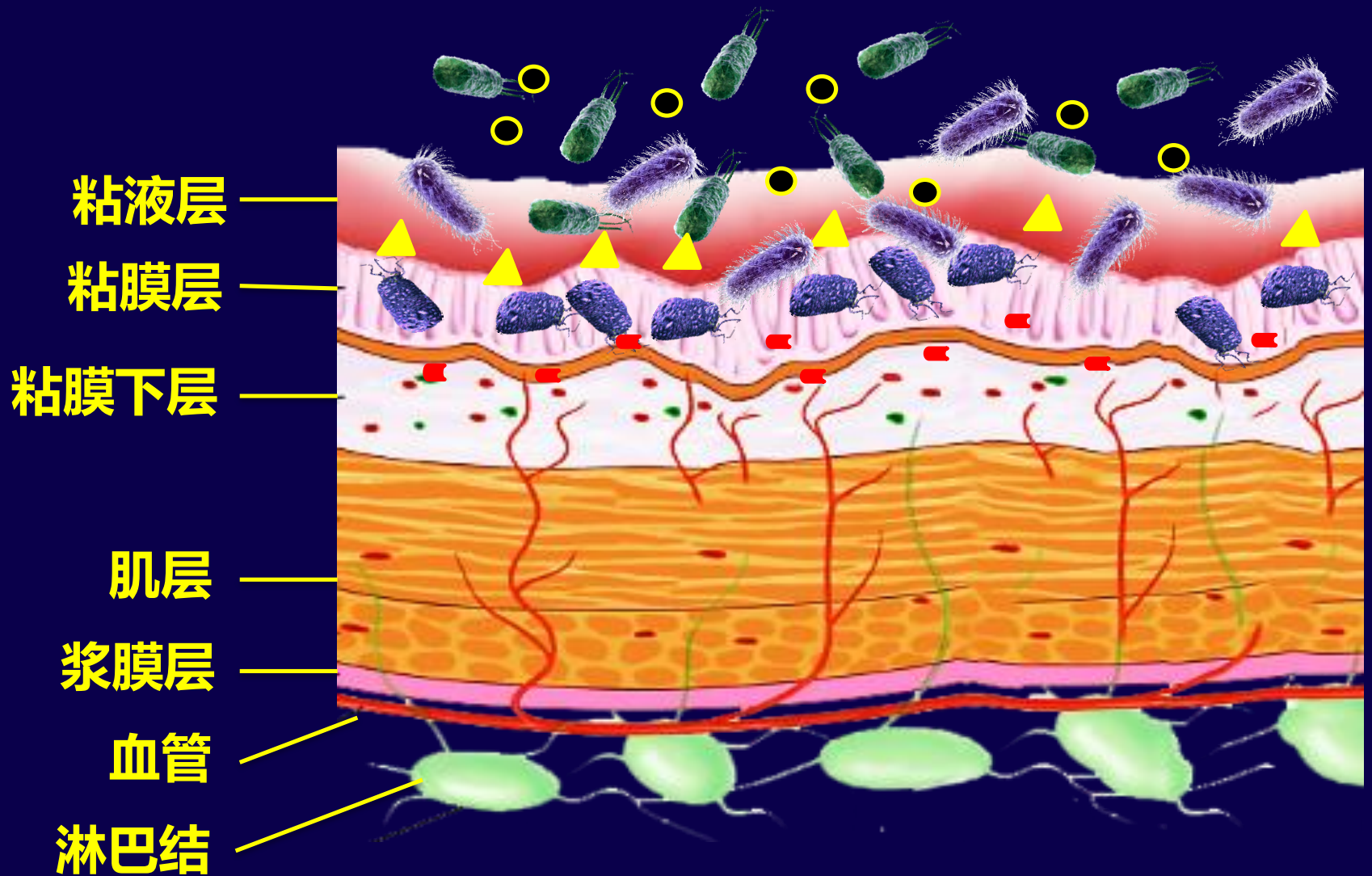
- ◆ 细菌与细菌之间的信号传递
- ◆ 细菌与胃肠道粘膜细胞交流
- ◆ 如何研究肠道菌群同机体细胞之间交流的分子机制？

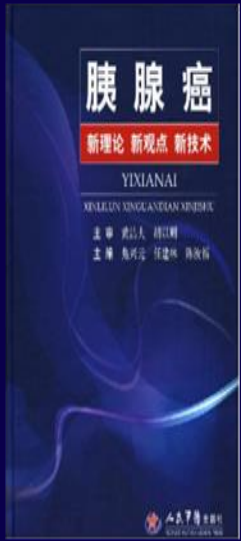
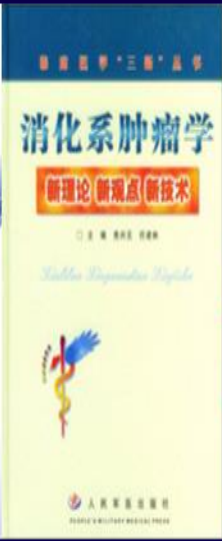
分子影像

- 遗传基因信息、生物化学与新的成像探针进行综合，由精密的成像技术来检测，再通过一系列的图像后处理技术，达到显示活体组织在分子和细胞水平上的生物学过程的目的。



3D打印在胃肠道的未来.....







第四届海峡两岸消化论坛暨世界华人消化高峰论坛

2013年11月21日-24日·厦门



海峡两岸医药卫生交流协会
消化病学专家委员会成立

合影留念 2013.11.22 厦门



第五届海峡两岸消化论坛 暨世界华人消化高峰论坛 第二届世界华人消化青年论坛

The Fifth Cross-Straits Digestive Forum
and The World Chinese Digestive Summit
The Second World Chinese Digestive Youth Forum

厦门国际会议中心

2015年11月6-8日

第一轮通告 First Announcement

主办:

海峡两岸医药卫生交流协会消化病学专家委员会
两岸关系和平发展协同创新中心
台湾消化系医学会、消化系内镜医学学会
香港消化病学会、消化系内镜学会
厦门市医学会

协办:

西京消化病医院
北京协和医院
中山大学附属第一医院
台湾中山医学大学附设医院
四川大学附属华西医院
首都医科大学附属北京友谊医院
北京大学人民医院
澳门镜湖医院
《J Dig Dis》
《中华消化杂志》

承办:

厦门大学附属中山医院
台湾大学医学院附设医院
香港中文大学威尔斯亲王医院

新加坡国立大学医院
第二军医大学附属长海医院
上海交通大学医学院附属仁济医院
上海交通大学医学院附属瑞金医院
台湾高雄医学大学附设医院
南方医科大学附南方医院
长庚大学林口长庚医院
海峡消化网 (www.hxxhw.com)
《Clinical update:Gastroenterology and Hepatology》
《中华消化内镜杂志》

美丽的厦门欢迎您！



非机动车道
NO MOTOR VEHICLES
NO MOTOR VEHICLES

红色路面为
自行车和人行道
THE RED SURFACE IS FOR
BICYCLES AND PEDESTRIANS

